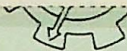


TESE  
124



ESCOLA FEDERAL DE ENGENHARIA DE ITAJUBÁ



~~TESE~~

CÁLCULO TEÓRICO DO ESCOAMENTO EM

MÁQUINA DE FLUXO RADIAL

LUCIO BENEDITO RENNO SALOMON

JUBÁ

M. GERAIS



PARECER DA COMISSÃO EXAMINADORA

A Comissão de Exame da Tese de Mestrado "CALCULO TEÓRICO DO ESCOAMENTO EM MÁQUINAS DE FLUXO RADIAIS", do candidato LÚCIO BENEDITO RENNÓ SALOMON, em Sessão de Decisão realizada após a Defesa de Tese em 08 de abril de 1972 às 11:00 horas, decidiu atribuir o conceito 1 (UM) à mesma, na forma do Art. 16 do Regulamento de Tese de Mestrado ou seja, aprovado com louvor.

EPEI, 08 de abril de 1972.

PROF. ZULCY DE SOUZA

PROF. MARCIUS PANTOZZI GIORGETTI

PROF. RICHARD BRAN

O presente trabalho originou-se durante os meus estudos na Universidade Técnica de Berlim.

Gostaria de acentuar meus agradecimentos ao Professor R. Wille, diretor do Instituto de Mecânica dos Fluidos Hermann Föttinger, da T.U. Berlin, bem como os assistentes Giese e Hellmann que fizeram as comprovações práticas do método, em seus bancos de ensaio.

Pela minha estadia no estrangeiro agradeço ao ROTARY INTERNATIONAL que me proporcionou uma bolsa de um ano e principalmente a EFEI que possibilitou a conclusão de meus cursos. Ao Professor R. Bran pela apresentação e também ao Professor Zulcy de Souza e demais membros do DME, meus agradecimentos; agradeço também a srta. Edna Suzana Palma pelo trabalho de datilografia.

I N D I C E

	página
1 - INTRODUÇÃO .....	5
2 - TRANSFORMAÇÕES CONFORME .....	7
3 - Preparação .....	7
4 - Teoria .....	8
5 - Série de Glauert .....	11
6 - PROCESSOS DIRETOS .....	13
7 - Campo de velocidade .....	13
8 - Função circulação .....	14
9 - Velocidades induzidas .....	16
0 - Condição de contorno .....	18
1 - Aplicação prática do processo .....	23
2 - Solução do problema dada a geometria de contorno ...	25
3 - Método do capítulo I .....	25
4 - Método do capítulo II .....	27
5 - MÉTODO PROCURADO .....	29
6 - Introdução .....	29
7 - Teoria .....	30
8 - Um estágio .....	30
9 - Cálculo do problema conhecida a geometria do sistema	34
0 - Cálculo da velocidade na pás .....	35
1 - Cálculo da distribuição de pressão .....	38

página

22 - Cálculo da geometria conhecendo as características do escoamento .....	38
23 - Grades em estágios com perfis de espessura finita .....	43
24 - APLICAÇÃO E CONCLUSÃO .....	45
25 - LITERATURA .....	48
26 - DIAGRAMA EM BLOCO .....	52
27 - EXEMPLOS .....	54
28 - CURVAS .....	54

MÉTODO DE CÁLCULO DO ESCOAMENTO DE UM  
FLUÍDO ATRAVÉS DE MÁQUINAS DE FLUXO RADIAIS

I N T R O D U C Ã O

Segundo K. Kusow comparando os métodos atuais, para cálculo do escoamento através de obstáculo, chegou-se a conclusão de que o método das singularidades é o que no menor tempo aproxima de resultados satisfatórios.

Nos últimos tempos foi aplicado, no cálculo de escoamento potenciais, em grades axiais, o método das singularidades. Utilizando a teoria feita por Birnbaum (1923), para uma asa isolada, que partia do princípio da distribuição de singularidades' no contorno do perfil.

Neste trabalho aplicaremos tal teoria para o caso de uma grade radial. Sabemos que neste caso o escoamento de um fluido' ideal sómente no sistema absoluto é potencial, enquanto que no sistema relativo, o escoamento não é livre de rotacional.

Nos estudos existentes, para o caso de escoamentos bidimensionais, é usual aproximar a distribuição de singularidades por por uma série. A precisão do cálculo é evidentemente função do número de termos, o que faz com que o aumento de precisão aumente assustadoramente o tempo de cálculo.

O presente trabalho visa portanto a obtenção de um processo de rápida convergência para o cálculo do escoamento de um fluido ideal através de sistemas rotativos que produza ainda o menor erro possível.

Para um termo de comparação do grau de precisão do método' em estudo e dos métodos existentes, apresentaremos uma superposição de curvas dos métodos básicos existentes, e do trabalho na aplicação do escoamento através de pás infinitamente finas,

formas logarítmicas cuja solução foi apresentada por BUSEMANN. Apresentaremos ainda os resultados do cálculo teórico em comparação com medidas práticas feitas em um ventilador radial, no instituto Hermann-Föttinger, da Universidade de Berlin, bem como os dados obtidos no trabalho de DOMM, HERGT, e RADESTOCK.

Devido a existência de dezenas de trabalhos nos campos, apresentaremos nos dois primeiros capítulos as linhas gerais utilizadas nos cálculos.

No primeiro capítulo, sob o título de "TRANSFORMAÇÃO CONFORME" teremos os fundamentos dos métodos utilizados por: J. GRUBER, O. FÜZY, DOMM, HERGT, RADESTOCK, VERBA, HOFFMEISTER, KUSOW, SCHLICHTING, RAABE, SCHOLZ, CZIBERE. No segundo capítulo, sob o título de "PROCESSOS DIRETOS" os fundamentos dos métodos de: ISAY-SCHILHANSL. No terceiro capítulo então apresentaremos o método, que deve ser enquadrado como um Processo Direto, proposto neste trabalho. No quarto capítulo, faremos então uma comprovação prática do cálculo, apresentando gráficos, tabelas e programas.

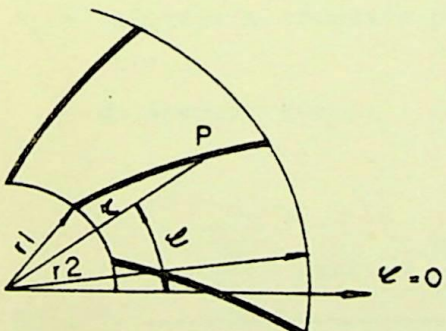
## I - TRANSFORMAÇÕES CONFORME

### 1 - Preparação:

Tais processos com ajuda da equação de transformação de KÖNIG, transforma as grades radiais em grades axiais.

$$\bar{\psi} - 1^* = N \cdot t \cdot \left( \ln \bar{z} / (2\pi) \right) \cdot e^{-i\lambda} \quad (7.1)$$

PLANO -  $Z$



PLANO -  $\psi$

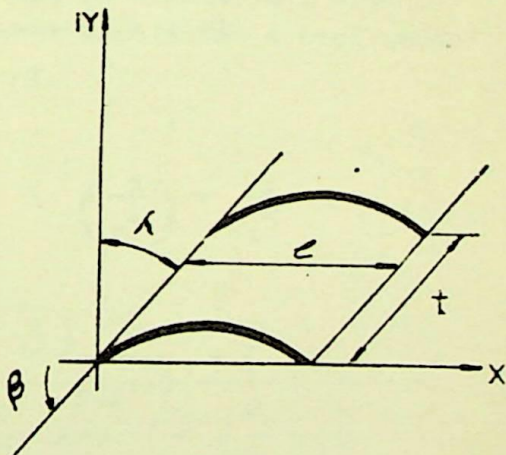


FIG. 1

$N$  = nº de pás

$t$  = passo

$l$  = comprimento da corda

Da equação (7.1), levamos em conta que:

$z = re^{i\varphi}$  e  $\psi = x + iy$  obtemos os valores das coor

denadas para uma transformação de planos. Conforme apresentado por Verba em seu trabalho, onde:

$\bar{z}$  : é um valor normalizado com  $r_2$

$\beta$  : é o ângulo da espiral logarítmica que tem a mesma corda.

$l^*$  : é a projeção  $l \cdot \sin \beta$

$N$  : é o número de pás

Apresentaremos ainda:

$\bar{\varphi}$  : coeficiente de vazão

$\bar{\psi}$  : coeficiente de pressão

$\dot{Q}$  : vazão por unidade de altura  $\frac{\dot{V}}{b}$

$b$  : altura do canal

$u$  : velocidade tangencial

$w$  : velocidade relativa

$c$  : velocidade absoluta

## 2 - Teoria

Seja  $\Gamma$  a circulação por unidade de comprimento, então temos, para a velocidade tangencial,

$$\frac{u}{\bar{c}_r} = \left( \frac{r}{r_2} \right)^2 / \bar{\varphi}$$

$$\bar{\varphi} = \frac{\dot{Q}}{2\pi r_2 u_2}$$

onde:

$$\bar{c}_r = \frac{\dot{Q}}{2\pi r} \quad \text{e} \quad \bar{\varphi} = \text{coeficiente de vazão.}$$

Como condição de contorno, temos que a velocidade relativa deve ser tangencial a pás, então temos em P.

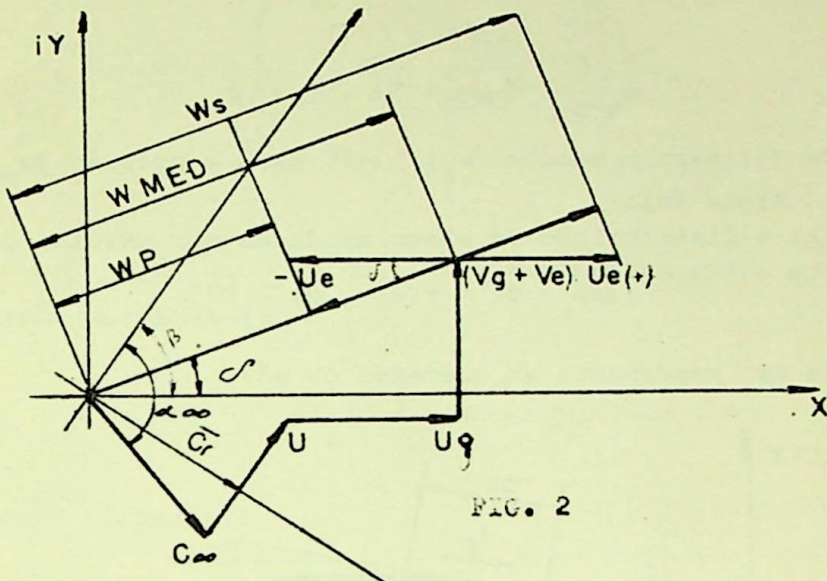


FIG. 2

$$\operatorname{tg} \beta_p = \frac{\frac{w}{r}}{\frac{w_u}{r}} \quad (9.7)$$

$v_g$  = velocidade induzida pelo resto da grade.

$v_e$  = velocidade induzida pela pás.

Do esquema temos:

$$\operatorname{tg} \beta_p = \frac{1 + \frac{u_g}{\bar{c}_r} \cdot \sin \beta - \left( \frac{v_g}{\bar{c}_r} + \frac{v_e}{\bar{c}_r} \right) \cdot \cos \beta}{\cot g \alpha_\infty + \left( \frac{r}{r_2} \right)^2 \frac{1}{\varphi} + \frac{u_g}{\bar{c}_r} \cos \beta + \left( \frac{v_g}{\bar{c}_r} + \frac{v_e}{\bar{c}_r} \right) \sin \beta} \quad (9.8)$$

$$\frac{w_{\text{med}}}{\bar{c}_r} = \frac{\cos (\alpha_\infty - \beta_g)}{\sin \alpha_\infty} + \frac{v_g + v_e}{\bar{c}_r} \cdot \sin \tau + \frac{u_g}{\bar{c}_r} \cos \tau + \left( \frac{r}{r_2} \right)^2 \cdot \cos \beta / \bar{\varphi} \quad (9.9)$$

Para as velocidades no lado de pressão e succão temos:

$$w_{s,p} = w_{med} \pm u_e \cdot \cos \vartheta \quad (10.10)$$

onde (+) para a succão ( $w_s$ ); (-) para a pressão ( $w_p$ ).

Ainda seja:

$\gamma(x)$  = distribuição de singularidades por unidade de comprimento.

$$\gamma(x) \cdot dx = \gamma(s) \cdot ds \quad (10.11)$$

onde ds representa um elemento da pâ.

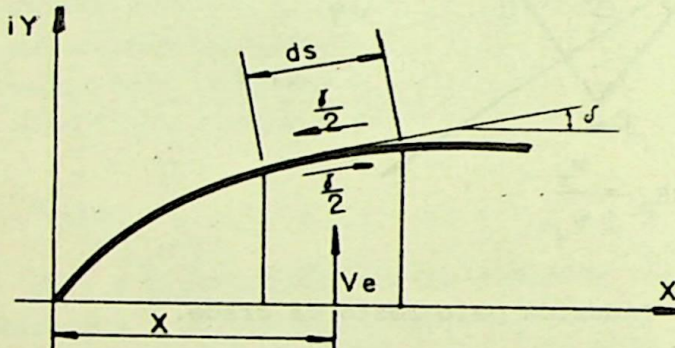


FIG - 3

$$\text{com } \frac{dx}{ds} = \cos(\vartheta), \quad \text{temos:} \quad (10.12)$$

$$\gamma(x) = \gamma(s) / \cos \vartheta$$

As componentes de velocidades devido a indução própria, são:

$$\left. \begin{array}{l} \frac{x'}{1} = d \\ v_e = - \frac{1}{2\pi} \int \frac{\gamma(\frac{x'}{1})}{\frac{x}{1} - \frac{x'}{1}} d(\frac{x'}{1}) \\ \frac{x'}{1} = 0 \end{array} \right\} \quad (11.1)$$

$(')$  = representa um ponto s/ pâ.

na direção vertical e

$$u_e = \pm \frac{x}{1} / 2 \quad (11.2)$$

na direção horizontal.

Com uma aproximação de  $\gamma(\frac{x}{1})$  com uma série de Glauert, temos:

$$\gamma(x(\tau)) = 2 \cdot c_r (A_0 \cdot \cotg \frac{\tau}{2} + \sum_{n=1}^{\infty} A_n \sin n\tau) \quad (11.3)$$

onde:  $\cos(\tau) = 1 - 2x/l$  (11.4)

Das equações (11.1) e (11.2) temos:

$$\frac{u_e}{c_r} = \pm (A_0 \cotg \frac{\tau}{2} + \sum_{n=1}^{\infty} A_n \sin n\tau) \quad (11.5)$$

$$\frac{v_e}{c_r} = - A_0 + \sum_{n=1}^{\infty} A_n \cos n\tau \quad (11.6)$$

Para a obtenção da indução do resto da grade, temos se

gundo Scholz e Pistoletti:

$$\frac{u_g}{c_r} - i \frac{v_g}{c_r} = \frac{i}{2} \cdot \frac{t/x}{t} \int_{\frac{x}{t}}^1 \frac{\left(\frac{x}{t}\right)^r}{\gamma\left(\frac{x'}{t}\right)} \left\{ e^{i\left(\frac{\pi}{2} - \beta\right)} \cotgh \frac{\pi e^{i\left(\frac{\pi}{2} - \beta\right)}}{t/f} \right\}$$

$$\frac{x'}{t} = 0 \qquad \qquad \qquad \theta = \frac{t/x}{t}$$

[Se na equação acima é igual a 1]

$$\left( \frac{x}{t} - \frac{x'}{t} \right) \left[ - \frac{1}{\pi} \frac{t/x}{x - x'} \right] + \operatorname{d} \left( \frac{x'}{t} \right) \frac{t}{t} = s \quad (12.1)$$

Com  $\gamma(x)$  da equação no (11.3) encontramos na equação (12.1) uma equação que será integrada numericamente. Com isto obtemos segundo Schilichting, as Integrais Universais para uma grade axial.

$$(12.1) \quad \sum_{n=0}^M A_n G_{\gamma n} = \frac{1}{\pi} \int_0^\infty \cos(\gamma_0 \cdot \cos(\theta)) \sin(\theta) d\theta \quad (12.2)$$

$$(12.1) \quad \frac{u_g}{c_r} = \sum_{n=0}^M A_n f_{\gamma n}$$

$$(12.1) \quad \frac{v_g}{c_r} = \sum_{n=0}^M A_n f_{\gamma n} \quad \text{Dado desse modo (12.1) e (12.2) formam:} \quad (12.3)$$

$$(12.1) \quad \frac{v_g}{c_r} = \sum_{n=0}^M A_n f_{\gamma n} \quad \left( \frac{1}{\pi} \int_0^\infty \cos(\gamma_0 \cdot \cos(\theta)) \sin(\theta) d\theta \right) \frac{t}{t} = \frac{\theta}{\pi}$$

Onde  $G_{\gamma n}$  e  $f_{\gamma n}$  são funções tabeladas de  $\frac{x}{t}$ ,  $\frac{t}{t}$  e

$\lambda = 90 - \beta_s$ , que apresentam as soluções das integrais obtidas, (vide Schilichting).

As soluções obtidas abetem os resultados abitando a respeito

## II - PROCESSOS DIRETOS

estudaremos os efeitos de um campo de velocidades no escoamento de um fluido.

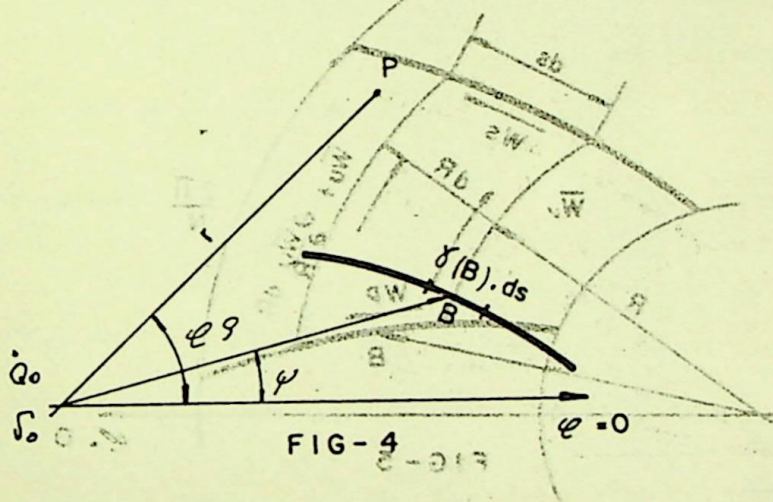
$$1) \text{ Campos de velocidades: } \frac{1-i}{2\pi} \left( \frac{Q_0}{z} + U_0 \right) \quad \left\{ \begin{array}{l} \frac{1}{z} = v_{bi} \\ \frac{i}{2\pi} = U_b = \bar{U} = \bar{v} \end{array} \right.$$

Suponhamos uma grade radial em um plano complexo  $Z$ , com  $N$  superfícies.

O escoamento através da grade obtemos com a superposição das velocidades induzidas ( $v_o$ ,  $U_o$ ), que aparecem através de uma fonte (ou sumidouro)  $Q_o$  e uma circulação interna  $\Gamma_o$ , no ponto nulo.

desenvolvimento contínuo - 2

$$\overline{v_o}(z) = u_o - iv_o = \frac{1}{2\pi} \left( Q_o + i v_o \right) \frac{1}{z} \quad (13.1)$$



O elemento de turbilhão  $\gamma_B \cdot ds$  induz em  $P(r, \varphi)$  a velocidade:

$$d\bar{v}_Y = du_Y - idv_Y = \frac{1}{2\pi} \gamma_B ds \frac{Nz^{n-1}}{z^N - \xi^N} \quad (13.1)$$

Então temos o campo de velocidade resultante.

$$\bar{c}_Y = \bar{u}_Y - idv_Y = \frac{i}{2\pi} \int \gamma(s) \cdot \frac{Nz^{N-1}}{z^N - \xi^N} ds \quad (14.1)$$

onde  $z = r \cdot e^{i\varphi}$ , e  $\xi = \rho e^{i\psi}$  onde  $\xi$  representa o contorno da pás.

## 2 - Função circulação

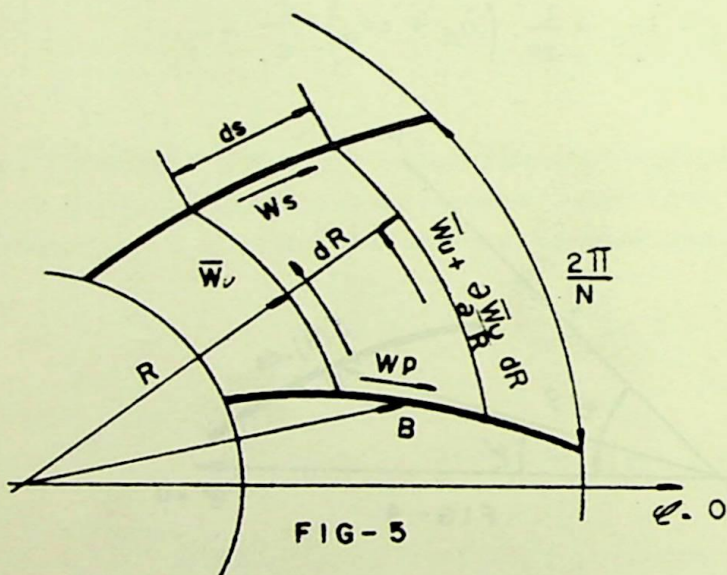


FIG - 5

As duas pás e os segmentos de raio  $R$  e  $R+dR$  fecham uma área  $(2\pi/N)R \cdot dR$ .

A integral de linha nestes limites nos dá:

$$d\Gamma = \int_0^{\frac{2\pi}{N}} \left( w_u + \frac{\delta w_u}{\delta R} dR \right) (R + dR) d\varphi - w_p \cdot ds - \int_0^{\frac{\pi}{N}} w_u \cdot R \cdot d\varphi + \\ + w_s ds$$

seja:

$$\bar{w}_u = \frac{N}{2\pi} \int_0^{\frac{2\pi}{N}} w_u \cdot d\varphi$$

então temos:

$$d\Gamma = \frac{2\pi}{N} d(R\bar{w}_u) + (w_s - w_p) ds \quad (15.1)$$

Mas por Stokes temos:

$$d\Gamma = 2 \cdot \frac{2\pi}{N} \omega R dR. \quad (15.2)$$

Então temos:

$$(w_s - w_p) ds = \frac{2\pi}{N} (2\omega R \cdot dR - d(R\bar{w}_u))$$

Com  $\bar{c}_u = u - \bar{w}_u$  temos:

$$(w_s - w_p) ds = \frac{2\pi}{N} \frac{d(R\bar{c}_u)}{dR} \cdot dR$$

Mas:

$$(w_s - w_p) ds = \gamma_B ds$$

$$\gamma_B ds = \frac{2\pi}{N} \frac{d(R\bar{c}_u)}{dR} dR \quad \text{ou:}$$

$$\gamma = \frac{\gamma_B}{\sin \beta} = \frac{2\pi}{N} \frac{d(R\bar{c}_u)}{dR} \quad (16.1)$$

Tal equação feita por Staufer, diz que a função  $\gamma$  é uma função de  $R$  somente.

### 3 - Velocidades induzidas

Tomando  $z = re^{i\psi}$  e  $\xi = pe^{i\psi}$  na equação (14.1) temos:

$$u_Y(r, \psi) = \frac{N}{2\pi r} \int \gamma(s) \frac{\frac{\sin(N\psi - N\psi - \varphi)}{(\frac{p(\psi)}{r(\psi)})^N + (\frac{p(\psi)}{r(\psi)})^{-N}} + (\frac{p(\psi)}{r(\psi)}) \sin \varphi}{(\frac{p(\psi)}{r(\psi)})^N + (\frac{p(\psi)}{r(\psi)})^{-N} - 2 \cdot \cos N(\psi - \varphi)} ds \quad (16.2)$$

$$v_Y(r, \psi) = \frac{N}{2\pi r} \int \gamma(s) \frac{\frac{\cos(N\psi - N\psi - \varphi)}{(\frac{p(\psi)}{r(\psi)})^N + (\frac{p(\psi)}{r(\psi)})^{-N}} - (\frac{p(\psi)}{r(\psi)})^{-N} \cos \varphi}{(\frac{p(\psi)}{r(\psi)})^N + (\frac{p(\psi)}{r(\psi)})^{-N} - 2 \cdot \cos N(\psi - \varphi)} ds \quad (16.3)$$

E ainda:

$$u_o(r, \psi) = \frac{\Omega_o}{2\pi} \cdot \frac{\cos \psi}{r} + \frac{\Gamma_o}{2\pi} \cdot \frac{\sin \psi}{r} \quad (16.4)$$

$$v_o(r, \varphi) = \frac{Q_o \cdot \operatorname{sen} \varphi}{2\pi r} - \frac{\Gamma_o}{2\pi} \cdot \frac{\cos \varphi}{r} \quad (17.1)$$

com:

$$c_u = \frac{N}{2\pi r} \int \gamma(s) \frac{\cos N(\varphi - \psi) - \left(\frac{\rho(\psi)}{r(\psi)}\right)^{-N}}{\left(\frac{\rho(\psi)}{r(\psi)}\right)^N + \left(\frac{\rho(\psi)}{r(\psi)}\right)^{-N} - 2 \cdot \cos N(\varphi - \psi)} ds \quad (17.2)$$

$$c_r = \frac{N}{2\pi r} \int \gamma(s) \frac{\operatorname{sen} N(\varphi - \psi)}{\left(\frac{\rho(\psi)}{r(\psi)}\right)^N + \left(\frac{\rho(\psi)}{r(\psi)}\right)^{-N} - 2 \cdot \cos N(\varphi - \psi)} ds \quad (17.3)$$

em coordenadas polares - com uma pequena transformação da equação da velocidade tangencial, temos:

$$c_u = \frac{N}{4\pi r} \left[ \int \gamma(s) \frac{\left(\frac{\rho(\psi)}{r(\psi)}\right)^N - \left(\frac{\rho(\psi)}{r(\psi)}\right)^{-N}}{\left(\frac{\rho(\psi)}{r(\psi)}\right)^N + \left(\frac{\rho(\psi)}{r(\psi)}\right)^{-N} - 2 \cdot \cos N(\varphi - \psi)} ds - \int \gamma(s) \cdot ds \right]$$

No qual a 2a. integral apresenta a variação de velocida de devido a circulação que apresenta o sistema radial em comparação com o sistema axial. Tal velocidade foi denominada por

Verba como sendo a velocidade de correção, devido a Gruber, para a transformação conforme de uma grade radial em uma axial.

Temos ainda:

$$c_{u_0} = -\Gamma_0 / (2\pi r) \quad (18.1)$$

$$c_{r_0} = \dot{Q}_0 / (2\pi r) \quad (18.2)$$

Componente tangencial e radial da velocidade do escoamento para o qual a pá é transparente.

#### 4 - Condições de contorno:

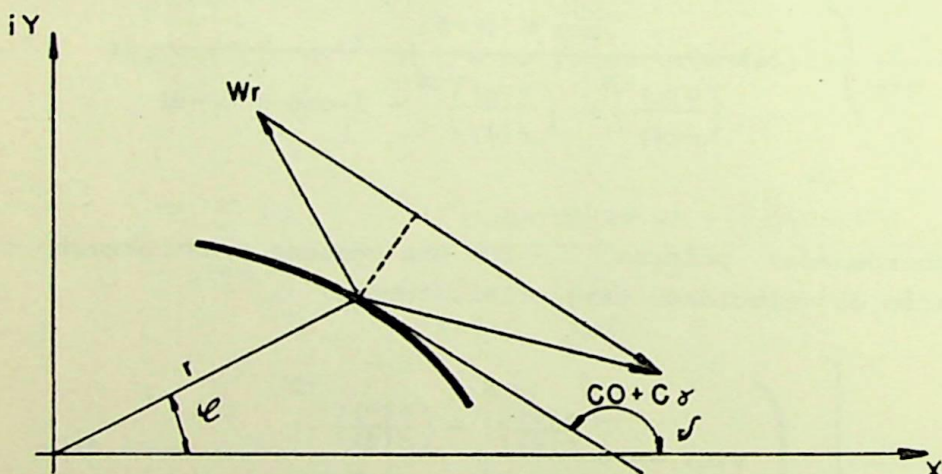


FIG - 6

Como a velocidade relativa tem que ser tangencial a pá e esta é uma linha do escoamento, temos:

$$\tan \delta = \frac{dy}{dx} = \frac{r'(\psi) \cdot \sin \psi + r(\psi) \cdot \cos \psi}{r'(\psi) \cdot \cos \psi - r(\psi) \cdot \sin \psi} = f \left( \frac{w_u}{w_x} \right)$$

onde ('') representa a derivação em  $\psi$ . Então temos após pequenos cálculos:

$$-\omega r'(\varphi) + r(\varphi) - \frac{\Gamma_0}{2\pi} \cdot \frac{r'(\varphi)}{r(\varphi)} - \frac{Q_0}{2\pi} =$$

$$= \frac{N}{2\pi} \int \gamma(s) \left( \frac{\rho(\psi)}{r(\psi)} \right)^{-N} \left( \frac{\rho(\psi)}{r(\psi)} \cdot \frac{r'(\psi)}{r(\psi)} + \sin N(\psi - \varphi) - \frac{r'(\psi)}{r(\psi)} \cdot \cos N(\psi - \varphi) \right) ds \\ \left( \frac{\rho(\psi)}{r(\psi)} \right)^N + \left( \frac{\rho(\psi)}{r(\psi)} \right)^{-N} - 2 \cdot \cos N(\psi - \varphi)$$

A equação da condição de contorno.

Neste ponto Schilhansl faz a aproximação de  $\gamma(s)$  com uma série de Glauert modificada onde:

$$\gamma(R) = B_0 \sqrt{\frac{1-k}{1+k}} + \sum_{n=1}^{P-1} B_n \cdot k^{n-1} (1-k^2)^{1/2}$$

onde:

$$k = 2 \cdot r \cdot (R_1 + R_2) / (R_2 - R_1)$$

sendo ainda:

$$\gamma(s) ds = \gamma(\psi) \cdot \sqrt{\rho^2 + \left( \frac{d\rho}{d\psi} \right)^2} \cdot d\psi$$

onde  $\rho$  na pág é uma função somente de  $\psi$ .

Para o cálculo dos coeficientes  $B_n$  ( $n = 0, \dots, P-1$ ), por substituição da equação de  $\gamma(s)$  na condição de contorno, obtemos P equações com P grandezas desconhecidas.

Apresentaremos a seguir o método apresentado por ISAY.

Denominaremos o núcleo da equação da condição de contorno' por  $K(\varphi, \psi)$ , temos:

$$\lim_{\varphi \rightarrow \psi} (\varphi - \psi) \times k(\varphi, \psi) = \frac{N}{2\pi} \cdot \lim_{\varphi \rightarrow \psi} \frac{\frac{r' \cdot r^{N-\rho N}}{\varphi - \psi} \cdot r^N + r^N \rho^N}{\left( \frac{r^N - \rho^N}{\varphi - \psi} \right)^2 + r^N \rho^N} = \frac{1}{2\pi}$$

Com isto podemos escrever:

$$k(\varphi, \psi) = \frac{1}{2\pi} \cdot \left( \frac{1}{\varphi - \psi} + H(\varphi, \psi) \right) \quad (20.1)$$

onde:

$$H(\varphi, \psi) = \frac{1}{2} \cdot \frac{\frac{N}{r} \frac{r'}{r} + (N-1) \left( \frac{r'}{r} \right)^3 + \frac{r' r''}{r^2}}{1 + \left( \frac{r'}{r} \right)^2} \quad (20.2)$$

Vamos definir:

$$f(\varphi) = -2\omega r(\varphi) r'(\varphi) - \frac{\Gamma_0}{2\pi} \cdot \frac{r'(\varphi)}{r(\varphi)} - \frac{\dot{\theta}_0}{2\pi} \quad (20.3)$$

Então obtemos:

$$f(\varphi) = \frac{1}{\pi} \int_{-\alpha}^{\alpha} \gamma(\psi) \cdot \left( \frac{1}{\varphi - \psi} + H(\varphi, \psi) \right) \cdot d\psi \quad (20.4)$$

com:

$$\varphi = -\alpha \cos t \quad e \quad \psi = -\alpha \cos \tau, \quad \text{obtemos:}$$

$$g(t) = \frac{1}{\pi} \int_0^{\pi} w(\tau) \cdot \left( \frac{1}{\cos t - \cos \tau} + \alpha H(t, \tau) \sin t \right) \cdot d\tau \quad (20.5)$$

$$\text{Para } 0 \leq \frac{t}{\tau} \leq \pi$$

Onde:

$$w(\tau) = \gamma(\tau) \cdot \sin \tau \quad \text{e} \quad \dot{\gamma}(\tau) = \gamma'(\tau)$$

Assim, o sinal de saída é dado por

$$g(t) = f(t) \cdot \sin t \quad \text{obtendo a seguinte equação}$$

Com a aproximação de  $g(t)$  por uma série de Fourier, temos:

o sinal de saída só depende de os coeficientes da série.

$$g(t) = \sqrt{\frac{2}{\pi}} \sum_{n=1}^{\infty} g_n \cdot \sin n t \quad (21.1)$$

Ainda seja:

$$\alpha \cdot \sin t \cdot H(t, \tau) = \sum_{\mu=1}^{\infty} \sum_{v=1}^{\infty} b_{\mu v} \cdot \sin \mu t \cdot \cos v \tau$$

Onde o sinal (-) significa que ambos os lados possuem os mesmos coeficientes em uma série de Fourier.

Com a introdução de um novo sistema orthonormal, obtemos

que o sinal de saída só depende dos coeficientes da série.

$$\psi_{\alpha}(t) = \sqrt{\frac{2}{\pi}} \cdot \sin \alpha t, \quad \psi_{\beta}(t) = \sqrt{\frac{2}{\pi}} \cdot \cos \beta t, \quad \psi_0 = \frac{1}{\sqrt{\pi}}$$

$$\text{e } \alpha, \beta = 1, 2, \dots, \text{ e } \psi_0 = 1$$

Temos:

$$g(t) = 2 \int_0^{\pi} k(t, \tau) \cdot w(\tau) \cdot d\tau \quad \text{então,}$$

obtemos para os elementos da matriz do núcleo  $a_{\alpha\beta}$

$$a_{\alpha\beta} = \int_0^{\pi} \int_0^{\pi} k(t, \tau) \cdot \psi_{\alpha}(t) \cdot \psi_{\beta}(\tau) \cdot d\tau \cdot dt = A_{\alpha\beta} + \frac{1}{2} b_{\alpha\beta}$$

ou seja

matriz de transformação, em especial teremos:

$$a_{\alpha 0} = \frac{1}{\sqrt{2}} b_{\alpha 0} \text{ para } \alpha = 1, 2, 3, \dots \quad (22.1)$$

e com  $\delta_{\alpha\beta}$  como o delta de Kronecker.

Então obtemos a equação equivalente a integral (20.5).

$$\beta = \sum_{\alpha=0}^{\infty} (a_{\alpha\beta} \delta_{\alpha}) = g_{\alpha} \quad \alpha = 1, 2, 3, \dots \quad (22.2)$$

onde  $\delta_{\alpha}$  são os coeficientes da série de  $w(\tau)$ .

Em notação matricial, temos a equação de operadores:

$$(E + B) \cdot \delta = g \quad (22.3)$$

onde E representa uma matriz unitária expandida:

$$E = \begin{pmatrix} 0 & 1 & 0 & 0 & \dots \\ 0 & 0 & 1 & 0 & \dots \\ 0 & 0 & 0 & 1 & \dots \\ 0 & 0 & 0 & 0 & \dots \\ \dots & \dots & \dots & \dots & \dots \end{pmatrix} \text{ com } i=4 \quad R = \begin{pmatrix} 0 & 0 & 0 & \dots \\ 1 & 0 & 0 & \dots \\ 0 & 1 & 0 & \dots \\ 0 & 0 & 1 & \dots \\ \dots & \dots & \dots & \dots \end{pmatrix}$$

onde  $ER =$  operador unitário  $= \Delta$ , supondo a condição:

$|R \cdot B| < 1$ , com isto o seguinte método iterativo converge:

$$E_w^{(n)} = g - B_w^{(n-1)} \quad (n = 1, 2, \dots); \quad E_w^{(0)} = 0$$

como solução, onde  $w_0$  representa uma constante livre. Assim:

$$w_0^{(n)} = [v - RB + (RB)^2 - \dots - + (RB)^{n-1}] \cdot (PG + w_0)$$

Como prova da suposição, temos:

$$R \cdot B = \begin{pmatrix} 0 & 0 & 0 \\ \frac{b_{10}}{\sqrt{2}} & \frac{b_{11}}{2} & \frac{b_{12}}{2} \\ \frac{b_{20}}{\sqrt{2}} & \frac{b_{21}}{2} & \frac{b_{22}}{2} \\ \vdots & \vdots & \vdots \end{pmatrix} < 1$$

Então temos que a suposição só será satisfeita, quando:

$$\text{sempre } M \times \pi^2 \times A = \pi^2 \quad \text{e} \quad M \times \pi^2 t = \frac{\pi}{2}$$

$$\left. \begin{aligned} & \frac{1}{2} \cdot \sum_{\mu=1}^{\infty} b_{\mu}^2 + \frac{1}{2} \cdot \sum_{\mu=1}^{\infty} b_{\mu}^2 < M^2 \\ & t \text{ para } \frac{1}{2} + \mu^2 \pi^2 = 1. \quad \sum_{\mu=1}^{\infty} \frac{b_{\mu}^2}{\mu^2} < M^2 \end{aligned} \right) \begin{aligned} & I=M \\ & I=t \end{aligned} \quad \frac{t}{2} = \sqrt{M^2}$$

então obtemos:

$$\int_0^{\pi} \int_0^{\pi} \left( \text{sen } t \cdot H(t, \tau) \right)^2 d\tau \cdot dt < \left( \frac{\pi}{2} \right)^2$$

$$I=M, \dots, S, L, I = u, M, \dots, S, I, 0 = v \text{ para}$$

Então com as condições acima, obtemos que a solução da função distribuição de singularidades fica:

$$\Gamma(\tau) = \frac{1}{\sin \tau} \left( \frac{0}{\sqrt{\pi}} + \sqrt{\frac{2}{\pi}} \sum_{n=1}^{\infty} \delta_n \cdot \cos n \tau \right) \quad (23.1)$$

$$\sin^2 \tau = M^2$$

## 5 - Aplicação prática do processo

obter A

Seja a equação:

$$a \cdot \text{sen } t \cdot H(t, \tau) = \sum_{\mu=1}^{I-M} \sum_{v=0}^{\frac{M}{2}} b_{\mu v} \cdot \text{sen } \mu t \cdot \cos v \tau$$

com M termos.

Multiplicando a equação por  $\text{sen } \mu t \cdot \cos v \tau$  e integrando no período  $2\pi$ .

Dividindo o intervalo  $0: 2\pi$  em  $M (= 2P)$  partes iguais e substituindo a integral por uma soma, com a utilização da regra do trapézio com um comprimento de intervalo  $2\pi / (2P)$ , temos:

$$t_j = j \cdot \pi / M \quad \text{e} \quad \tau_k = k \cdot \pi / M \quad \text{temos:}$$

$$A_{\mu v} = \frac{1}{p^2} \cdot \sum_{j=1}^{M-1} \left( \sum_{k=1}^M \alpha \cdot \sin t_j \cdot H(t_j, \tau_k) \cdot \cos v \tau_k + \frac{\alpha}{2} \cdot \sin t_j \right. \\ \left. \left[ H(t_j, 0) + (-1)^v H(t_j, \pi) \right] \right) \cdot \sin \mu t_j$$

Para  $v = 0, 1, 2, \dots, M$ ,  $\mu = 1, 2, 3, \dots, M-1$

Então temos:

$$b_{\mu v} = A_{\mu v} \quad \text{para } v \neq 0, v \neq M$$

$$b_{\mu 0} = A_{\mu 0} / 2$$

$$b_{\mu M} = A_{\mu M} / 2$$

A função

$$g(t) = \sqrt{\frac{2}{\pi}} \cdot \sum_{k=0}^{M-1} g_k \cdot \sin kt$$

onde:

$$g_k = \frac{1}{p} \cdot \sum_{\mu=0}^{M-1} g(t_{\mu}) \cdot \sin \frac{\mu k \pi}{M}$$

Então a solução fica:

$$g_k = \frac{1}{\sqrt{2}} \cdot b_{k0} \cdot w_0 + w_k + \sum_{s=1}^M b_{ks} \cdot w_s$$

$$w_s = \frac{\delta_s}{\sin t}$$

6 - Solução do problema dada a geometria de contorno

a) Método do capítulo I

Da equação (42.1)

$$\cotg \alpha_{\infty} = \cotg \alpha_0 - \frac{\bar{\psi}}{4\bar{\varphi}}$$

onde  $\bar{\psi}$  = coeficiente de pressão.

Mas:

$$\frac{\bar{\psi}}{\bar{\varphi}} = \frac{1}{t \cdot c_r} \cdot 2r = \frac{2}{t \cdot c_r} \cdot l \cdot c_r \int_0^{\pi} \left( A_0 \cdot \cotg \frac{\tau}{2} + \sum_n A_n \cdot \sin n \tau \right) \cdot \sin \tau \cdot d \tau$$

$$\frac{\bar{\psi}}{\bar{\varphi}} = \frac{l}{t} \cdot 2\pi \left( A_0 + \frac{1}{2} A_1 \right), \text{ obtemos } \cotg \alpha_{\infty}$$

Com a substituição das velocidades na equação da condição de contorno, temos,

$$\sum_{n=0}^B A_{n0} \cdot P(n, j) = \cotg \beta_j - \cotg \alpha_0$$

$$\sum_{n=0}^B A_{n\varphi} \cdot P(n, j) = - \left( \frac{r_j}{r_2} \right)^2$$

onde:

$$\frac{x_j}{l} = \frac{4j - 1}{4(B + 1)} \quad \text{segundo Schilichting, e}$$

$$A_n = A_{n_0} + A_{n\varphi} / \sqrt{q}$$

$$P(0, j) = - \frac{\pi}{2} \cdot \frac{f}{t} + g_{Y_0} \cdot \cos \beta_j \left( 1 - \frac{\operatorname{tg} \beta_s}{\operatorname{tg} \beta_j} \right) + (f_{Y_0} - 1).$$

$$\cdot \cos \beta_j \cdot \frac{1 + \operatorname{tg} \beta_s \cdot \operatorname{tg} \beta_j}{\operatorname{tg} \beta_j}$$

$$P(1, j) = - \frac{\pi}{4} \cdot \frac{f}{t} + g_{Y_1} \cdot \cos \beta_s \left( 1 - \frac{\operatorname{tg} \beta_s}{\operatorname{tg} \beta_j} \right) + (f_{Y_1} + \cos \beta_j).$$

$$\cdot \cos \beta_j \cdot \frac{1 + \operatorname{tg} \beta_s \cdot \operatorname{tg} \beta_j}{\operatorname{tg} \beta_j}$$

Tal processo serve para o caso em que o contorno da pá não se afaste muito do contorno da espiral logarítmica que tenha a mesma corda e o ângulo  $\beta_s$ .

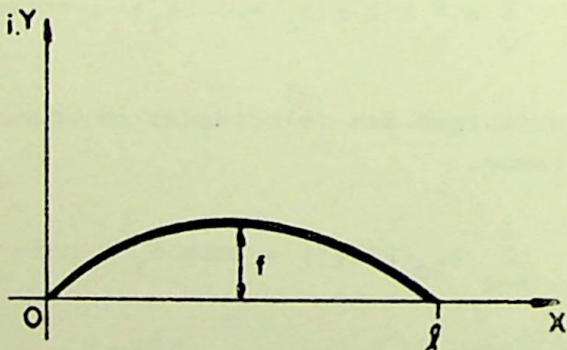


FIG - 7

Segundo Schlichting,

$$\frac{f}{l} \leq 0.10 \div 0.15$$

A condição de entrada sem choque, temos através de:  
 aq enq  $\theta(1) = \pi$  e aq enq subenfrent aq enq  $f = \pi$  eben  
 aq ab enq abise ob oqibno e aq enq enq enq subenfrent  
 gicos supos aq obertos ob oqibnos enq Z. (vejamos o  
 $A = 0$  .otermos o sn

$$\bar{\varphi}_{sc} = - A_{oq} / A_{oo}$$

O coeficiente de pressão fica:

$$\bar{\psi}_{sc} = \frac{t}{\pi} \cdot \left( A_{1\varphi} + A_{10} \bar{\varphi}_{sc} \right)$$

b) Método do capítulo II

Uma vez calculada a distribuição de singularidades, temos que a distribuição de velocidade pode ser obtida diretamente das equações encontradas.

Para o cálculo do momento, temos:

$$M = m \cdot \frac{N}{2\pi} \cdot \Gamma ; \quad \frac{M}{m} = \frac{N}{2\pi} \cdot \Gamma = \frac{\Delta P}{\rho \omega}$$

$$\frac{N}{\pi} \cdot \frac{\Gamma}{\omega R_R^2} = \frac{2\Delta P}{\rho u_R^2} = \bar{\psi} \quad \text{mas}$$

$$\Gamma = \int_{-\alpha}^{\alpha} \Gamma(\psi) d\psi = \alpha \sqrt{\pi} \delta_0$$

$$\bar{\psi} = \frac{\alpha N}{\sqrt{\pi}} \left( \frac{\delta_0}{\omega_R^2 R} \right)$$

**onde:**

$$\frac{\delta_0}{\sqrt{\pi}} = -\sqrt{\frac{2}{\pi}} \sum_{n=1}^{\infty} k_n \cdot \delta_n$$

onde  $k = 1$  para pás inclinadas para trás e  $k = (-1)^n$  para pás inclinadas para frente, para a condição de saída da pás (Kutta - Joukowisky). E para a condição de entrada sem choque funciona o contrário.

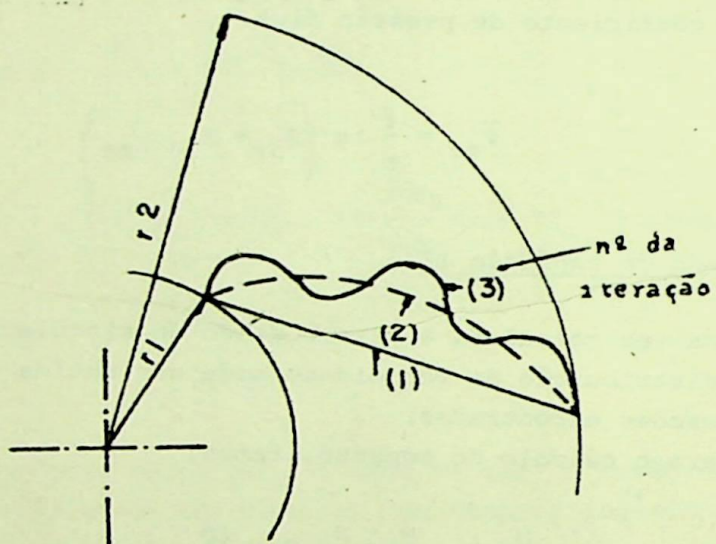


FIG - 8

### III - MÉTODO PROCURADO

#### 1 - Introdução

Neste capítulo, apresentaremos um método de solução do problema, que tem como base a utilização da série obtida por ISAY, em uma aplicação não mais utilizando um sistema matricial para a determinação dos coeficientes, pois tal método apresenta erros da ordem de grandeza de 30% (vide curvas), mas sim calculando os coeficientes da série com um sistema de equações.

Schilhansl, utilizando uma série modificada de Glaert, faz um cálculo análogo, com uma utilização de distribuição de circulação e fontes para a obtenção da espessura das pás, tal que a integração da distribuição da função fonte se anula no intervalo da pás, para que a continuidade fique satisfeita. Mas tal processo além de dobrar o tempo de computação, ainda continua ocasionando erros equivalentes ao processo de ISAY. — DOMM, HERGT e RADESTOCK calculando no método de HOFFMEISTER (pás infinitamente finas) calculam os coeficientes da série com a utilização do erro mínimo, utilizando somente 3 termos da série, mas tal processo ocasiona ainda erros da ordem de 20% em comparação com Busemann.

No método seguinte, utilizaremos somente uma distribuição de circulação e aproximaremos com uma série de cossenos de Fourier, aplicando tal método para pás infinitamente finas, ou pás de espessura finitas e ainda servindo para sistemas com mais de um estágio com sistema diretor ou não.

Com a utilização desta nova série a escolha dos pontos para o cálculo dos coeficientes deixa de ser crítica, podendo ser uma distribuição simétrica, ou qualquer, no intervalo da pás, desde que inclua os pontos extremos e que os pontos sejam suficientes para a definição do contorno da pás. Enquanto que nos métodos de Schilhansl e outros, a escolha dos pontos é muito crítica, pois temos:

Segundo Prandtl-Birnbaum:

$$k_m = - \cos \left( (2m - 1) \cdot j / (2n) \right)$$

com

$$n(: = j + 1), m = 1, 2, \dots n$$

Schlichting:

$$k_m = \left( 4m - (2n + 1) \right) / (2n)$$

Sendo tal escolha bastante crítica, enquanto Schilhansl verificou que o 1º é que causa menor erro, sendo ainda tais erros da ordem de 30%.

## 2 - Teoria

### a) um estágio:

Vimos que:

$$f(\psi) = \frac{1}{\pi} \int_{-\alpha}^{\alpha} \sigma(\psi) \left( \frac{1}{\psi - \psi'} + H(\psi, \psi') \right) d\psi$$

onde:

$$f(\psi) = - 2 \omega r(\psi) \cdot r'(\psi) - \frac{\Gamma_0}{\pi} \frac{x'(0)}{r(\psi)} - \frac{\dot{\theta}_0}{\pi}$$

para pás infinitamente finas.

$$f(t) = - 2 \omega r(t) \cdot r'(t) - \frac{\Gamma_0}{\pi} \frac{r'(t)}{r(t)} - \frac{\dot{\theta}_0}{\pi} \cdot \dot{\psi}(t)$$

para pás de espessura finitas, onde:

$$\psi(t) = - \cos t$$

$$r(t) = \sum_{v=-M}^M c_v \cdot e^{ivt} \quad (-\pi \leq t \leq \pi) \quad \text{a equação da pâ}$$

em forma paramétrica.

Ainda temos:

$H(\psi, \dot{\psi})$  = vista no 2º capítulo e ainda:

$$H(t, \tau) = \frac{\ddot{\psi} + N \frac{\dot{\psi}^2}{r} + (N-1) \left( \frac{\dot{t}}{r} \right)^3 + \frac{\dot{r} r^n}{r^2}}{\dot{\psi}^2 + \left( \frac{\dot{t}}{r} \right)^2} \quad (31.1)$$

em forma da equação paramétrica da pâ, sendo que esta função é presenta os termos finitos de uma expansão em série de Laurent  $\cot g \left[ \frac{(t-\tau)}{2} \right]$

Tomando então:

$$f(\psi) = \frac{1}{\pi} \int_0^\pi \frac{\sigma(\psi) \cdot \sin \tau}{\cos \tau - \cos t} d\tau + \frac{a}{\pi} \int_0^\pi \sigma(\psi(\tau)) \cdot \sin \tau \cdot H(t, \tau) d\tau$$

e sendo:

$$\frac{1}{\pi} \int_0^\pi \frac{\cos n \tau \cdot d\tau}{\cos \tau - \cos t} = \frac{\sin nt}{\sin t}$$

Para  $n = 0$ , temos:

$$\frac{1}{\pi} \int_0^\pi \frac{k \cdot d\tau}{\cos \tau - \cos t} = 0$$

$$f(\varphi(t)) = \frac{\delta_0}{\sqrt{\pi}} \cdot \frac{\alpha}{\pi} \int_0^{\pi} H(t, \tau) \cdot d\tau + \sqrt{\frac{2}{\pi}} \sum_{n=1}^{\infty} \delta_n \cdot \left( \frac{\sin nt}{\sin t} + \right. \\ \left. + \frac{\alpha}{\pi} \int_0^{\pi} H(t, \tau) \cdot \cos n\tau \cdot d\tau \right)$$

Com a condição de saída na pá, temos:

$$\frac{\delta_0}{\sqrt{\pi}} = - \sqrt{\frac{2}{\pi}} \sum_{n=1}^{\infty} \delta_n \cdot \kappa \text{ onde:} \quad (32.1)$$

$\kappa \equiv 1$  para pás inclinadas para trás.

$\kappa \equiv (-1)^n$  para pás inclinadas para frente.

$$f(\varphi(t)) = \sqrt{\frac{2}{\pi}} \sum_{n=1}^Q \delta_n \left( \frac{\sin nt}{\sin t} + \frac{\alpha}{\pi} \int_0^{\pi} (\cos n\tau - \kappa) \cdot H(t, \tau) \cdot d\tau \right)$$

Com a introdução de:

$$\delta_{\tilde{n}} \equiv \delta_{n\omega} \cdot \hat{\omega}^2 + \delta_{n\Gamma_0} \cdot \Gamma_0 + \delta_{nQ} \cdot Q_0 \quad \text{e}$$

$$A_{n_m} = \sqrt{\frac{2}{\pi}} \left( \frac{\sin n t_m}{\sin t_m} + \frac{\alpha}{\pi} \int_0^{\pi} (\cos n t_m - \kappa) \cdot H(t_m, \tau) \cdot d\tau \right) \quad (32.2)$$

com  $Q$  termos, assim temos:

	<u>Pás finas</u>	<u>Pás grossas</u>
$\sum_{n=1}^{\infty} \delta_{n\omega} A_{nm}$	$= -2 \frac{r_m(\varphi)}{R} \cdot \frac{r_m'(\varphi)}{R}$	idem
$\sum_{n=1}^{\infty} \delta_{n\Gamma_O} A_{nm}$	$= -\frac{1}{\pi} \frac{r_m(\varphi)}{r_m'(\varphi)}$	idem
$\sum_{n=1}^{\infty} \delta_{nQ_O} A_{nm}$	$= -\frac{1}{\pi}$	$= -\frac{\varphi(t)}{\pi}$

Grupo de Equações (33.1)

Onde:

$n, m = 1, 2, 3, \dots \infty$

Com:

$$\Gamma = \int_{-\alpha}^{\alpha} \sigma(\psi) d\psi = \alpha \sqrt{\pi} \cdot \delta_0$$

$$\frac{M}{m} = \frac{N\Gamma}{2\pi} = \text{momento de rotação por unidade de massa} = \frac{\Delta P}{\rho\omega}$$

Para o coeficiente de pressão

$$\bar{\psi} = \frac{\alpha N}{\sqrt{\pi}} \left( \delta_{0\omega} + \delta_{0\Gamma_O} \frac{\Gamma_O}{\omega R^2} + \delta_{0Q_O} \frac{Q_O}{\omega R^2} \right)$$

$$\frac{Q_O}{\omega R^2} = 2\pi \bar{\varphi} \quad \text{onde } \bar{\varphi} = \text{coeficiente de vazão.}$$

A) Cálculo do problema, conhecida a geometria do sistema:

Vimos que:

$$rc_u = \int_{-\alpha}^{\alpha} \sigma(\psi) \cdot ku(\varphi, \psi) \cdot d\psi \quad (34.1)$$

$$r.c_r = \int_{-\alpha}^{\alpha} \sigma(\psi) \cdot kR(\varphi, \psi) \cdot d\psi \quad (34.2)$$

$$rc_{uo} = \frac{-r_o}{2\pi}$$

$$rc_{ro} = \frac{\dot{Q}_o}{2\pi}$$

$$\left(\frac{r}{R}\right)^2 \cdot \frac{c_u}{u} = I_v = \int_{-\alpha}^{\alpha} \left( \frac{\sigma(\psi)}{\omega R^2} \right) \cdot ku(\varphi, \psi) \cdot d\psi$$

$$\left(\frac{r}{R}\right)^2 \cdot \frac{c_r}{u} = I_r = \int_{-\alpha}^{\alpha} \left( \frac{\sigma(\psi)}{\omega R^2} \right) \cdot kR(\varphi, \psi) \cdot d\psi$$

Para a utilização em pás finas, temos:

$$ku(\varphi, \psi) = \frac{N}{2\pi} \cdot \frac{\left(\frac{p}{r}\right)^N \cdot \cos N(\varphi - \psi) - 1}{1 - 2 \cdot \left(\frac{p}{r}\right)^N \cdot \cos N(\varphi - \psi) + \left(\frac{p}{r}\right)^{2N}}$$

$$kR(\varphi, \psi) = \frac{N}{2\pi} \cdot \frac{\left(\frac{\rho}{r}\right)^N \cdot \sin N(\varphi - \psi)}{1 - 2 \cdot \left(\frac{\rho}{r}\right)^N \cdot \cos N(\varphi - \psi) + \left(\frac{\rho}{r}\right)^{2N}}$$

A-1: Cálculo da velocidade na pás:

Das equações acima temos:

$$\lim_{\varphi \rightarrow \psi} (\varphi - \psi) \cdot ku(\varphi, \psi) = -\frac{1}{2\pi} \cdot \frac{\frac{r}{\dot{x}}}{1 + \left(\frac{\dot{x}}{r}\right)^2}$$

$$\lim_{\varphi \rightarrow \psi} (\varphi - \psi) \cdot kR(\varphi, \psi) = \frac{1}{2\pi} \cdot \frac{1}{1 + \left(\frac{\dot{x}}{r}\right)^2}$$

Com isto obtemos para o núcleo das funções distribuição de velocidade:

$$ku(\varphi, \psi) = \frac{1}{2\pi} \left( -\frac{\frac{\dot{x}}{r}}{1 + \left(\frac{\dot{x}}{r}\right)^2} \cdot \frac{1}{\varphi - \psi} + Hu(\varphi, \psi) \right)$$

$$kR(\varphi, \psi) = \frac{1}{2\pi} \left( \frac{1}{1 + \left(\frac{\dot{x}}{r}\right)^2} \cdot \frac{1}{\varphi - \psi} + HR(\varphi, \psi) \right)$$

com:

$$\frac{\sigma(\psi)}{\omega R^2} = \sigma^*(\tau) = \frac{1}{\sin \tau} \left( \frac{\delta_0^*}{\sqrt{\pi}} + \sqrt{\frac{2}{\pi}} \sum_{n=1}^M \delta_n^* \cos n\tau \right)$$

onde:

$$\delta_n^* = \frac{\delta_n}{\omega R^2}$$

Obtemos:

$$\left( \left( \frac{r}{R} \right)^2 \cdot \frac{c_i}{u} \right) = \frac{1}{2\pi} \int_{-\alpha}^{\alpha} \frac{\sigma(\psi)}{\omega R^2} \left( \frac{k_i}{\varphi - \psi} + H_i \right) d\psi$$

Para  $i = u$  ou  $r$  e ( $\frac{1}{u}$ ) a velocidade média entre o lado de succão e pressão.

E ainda:

$$k_u = -\frac{\frac{r}{R}}{1 + (\frac{r}{R})^2}; \quad k_r = \frac{1}{1 + (\frac{r}{R})^2}$$

com isto obtemos:

$$\left( \left( \frac{r}{R} \right)^2 \cdot \frac{c_i}{u} \right) = \frac{k_i}{2} \sqrt{\frac{2}{\pi}} \sum_{n=1}^M \delta_n^* \cdot \frac{\sin nt}{\sin t} + \frac{1}{2\pi} \int_{-\alpha}^{\alpha} \sigma^*(\psi) \cdot H_i(\varphi, \psi) d\psi$$

No sistema relativo, temos:

$$\left( \frac{w u}{u} \right) = \left( \frac{c_u}{u} \right) - \frac{r_o}{2\pi r u} - 1$$

$$\left( \frac{w}{u} \right) = \left( \frac{c_r}{u} \right) + \frac{\dot{Q}_o}{2\pi ru}$$

Com isto obtemos:

$$\left( \left( \frac{x}{R} \right)^2 \cdot \frac{\bar{w}_u}{u} \right) = \left( \left( \frac{x}{R} \right)^2 \cdot \frac{c_u}{u} \right) - \frac{1}{2\pi} \cdot \frac{\dot{Q}_o}{\omega R^2} - \left( \frac{x}{R} \right)^2 \quad (37.1)$$

$$\left( \left( \frac{x}{R} \right)^2 \cdot \frac{\bar{w}_r}{u} \right) = \left( \left( \frac{x}{R} \right)^2 \cdot \frac{c_r}{u} \right) + \bar{\varphi} \quad (37.2)$$

Assim, como velocidade total, temos:

$$\frac{w}{u} = \frac{\bar{w}}{u} \pm \frac{\gamma(\varphi)}{2u} \quad \text{onde} \quad (+) \text{ lado de succão} \\ (-) \text{ lado de pressão}$$

$$\text{onde } w = \sqrt{\frac{\bar{w}^2}{u^2} + \frac{w^2}{u^2}} \quad \text{e ainda:}$$

$$\gamma(\varphi) = \frac{\sigma(\varphi)}{\sqrt{r^2 + r'^2}} = \frac{\sigma(\varphi)}{r \sqrt{1 + \left( \frac{r'}{r} \right)^2}} \quad \text{com isto}$$

fica:

$$\frac{w}{u} = \frac{\left( \frac{\sigma(\varphi)}{\omega R^2} \right)}{\left( \frac{x}{R} \right)^2 \sqrt{1 + \left( \frac{x}{r} \right)^2}}$$

A - 2: Cálculo da distribuição de pressão:

$$\frac{c^2}{2g} + \left( \frac{x^2}{R} \right) = \left( \frac{w^2}{u} \right)$$

Da equação de Bernoulli, temos diretamente, com:

com tais opções:

$$\frac{c^2}{2g} + \left( \frac{x^2}{R} \right) = \frac{\rho u^2}{R} - \frac{1}{2g} + \left( \frac{w^2}{u} \right) = \left( \frac{\rho w^2}{u} + \frac{x^2}{R} \right)$$

$$\frac{2(p_{st} - p_0)}{\rho u^2 R} = \left( \frac{x}{R} \right)^2 - \left( \frac{w}{u} \right)^2 \text{ o que fica:}$$

$$(38.1) \quad \frac{2(p_{st} - p_0)}{\rho u^2 R} + \left( \frac{x^2}{R} \cdot \frac{2}{g} \right) = \left( \frac{\rho w^2}{u} \cdot \frac{2}{g} \right)$$

$$\frac{2(p_{st} - p_0)}{\rho u^2 R} = \left( 1 - \left( \frac{w}{u} \right)^2 \right) \cdot \left( \frac{x}{R} \right)^2 \quad (38.1)$$

obtemos se obvi (+)

$$\text{outra } \frac{(+)x}{g} + \frac{x^2}{R} = x$$

B) Cálculo da geometria conhecendo as características do esco-

mento:

$$\text{obtemos } \frac{s_w}{u} + \frac{s_w}{x} = w \text{ obtemos}$$

Devemos ter em mente que a pâ é uma linha de fluxo que deve induzir a si própria, pela distribuição, em seu contorno, singularidades.

Sabemos que:

$$\frac{w_r}{w_u} = \frac{r'}{r}$$

então com:

$$w_r = c_{r_y} + \frac{Q_o}{2\pi r}$$

$$w_u = c_{u_Y} - \frac{\Gamma_0}{2\pi r} - u \quad \text{fica:}$$

$$\frac{r'}{r} = \frac{\frac{c_{r_Y}}{u} + \frac{\dot{Q}_0}{2\pi r}}{c_{u_Y} - \frac{\Gamma_0}{2\pi r} - u} = \frac{\frac{c_{r_Y}}{u} + \frac{\dot{Q}_0}{2\pi ru}}{\frac{c_{u_Y}}{u} - \frac{\Gamma_0}{2\pi ru} - 1}$$

$$\frac{r'}{r} = \frac{\left( \left( \frac{r}{R} \right)^2 \cdot \frac{c_{r_Y}}{u} \right) + \bar{\varphi}}{\left( \left( \frac{r}{R} \right)^2 \cdot \frac{c_{u_Y}}{u} \right) - \frac{\Gamma_0}{\omega R^2} \cdot \frac{1}{2\pi} - \left( \frac{r}{R} \right)^2}$$

Com:

$$I_r = \left( \left( \frac{r}{R} \right)^2 \cdot \frac{c_{u_Y}}{u} \right) = \frac{N}{2\pi} \int_{-\alpha}^{\alpha} \left( \frac{\sigma(\psi)}{\omega R^2} \right) \cdot \frac{\sin N(\varphi - \psi) \cdot d\psi}{\left( \frac{r}{R} \right)^N + \left( \frac{r}{R} \right)^{-N} - 2 \cos N(\varphi - \psi)}$$

$$I_u = \left( \left( \frac{r}{R} \right)^2 \cdot \frac{c_{u_Y}}{u} \right) = \frac{N}{4\pi} \int_{-\alpha}^{\alpha} \left( \frac{\sigma(\psi)}{\omega R^2} \right) \left( \frac{\left( \frac{r}{R} \right)^N - \left( \frac{r}{R} \right)^{-N}}{\left( \frac{r}{R} \right)^N + \left( \frac{r}{R} \right)^{-N} - 2 \cos N(\varphi - \psi)} - 1 \right) d\psi$$

fica:

$$\frac{r'}{r} = \frac{I_r + \bar{\varphi}}{I_u - \frac{R_o}{\omega R^2} \cdot \frac{1}{2\pi} - \left(\frac{r}{R}\right)^2}$$

Como:

$\frac{r'}{r} = - \operatorname{tg} \beta_s$  temos, a equação geral de uma f.

em coordenadas polar.

$$\frac{r}{R_2} = \frac{R_1}{R_2} \cdot e^{- \int_{-\alpha}^{\varphi} \operatorname{tg} \beta \cdot d\theta}$$

Faremos uma aproximação de  $\operatorname{tg} \beta$ , tangente do ângulo (pá) por uma série de Fourier, obteremos:

$$\operatorname{tg} \beta = \frac{A_0}{2} + \sum_{n=1}^{\infty} A_n \cdot \cos \left( \frac{n\pi\theta}{\alpha} \right)$$

Com:

$$A_n = \frac{1}{\alpha} \int_{-\alpha}^{\alpha} \operatorname{tg} \beta \cdot \cos \left( \frac{n\pi\theta}{\alpha} \right) d\theta \quad \text{então}$$

$$\frac{r}{R_2} = \frac{R_1}{R_2} \cdot \exp \left( - \frac{A_0}{2} (\varphi - \alpha) - \sum_{n=1}^{\infty} A_n \cdot \frac{\alpha}{n\pi} \cdot \sin \left( \frac{n\pi}{\alpha} \varphi \right) \right)$$

Fica:

$$\frac{\dot{r}}{r} = - \left( \frac{A_0}{2} + \sum_{n=1}^M A_n \cdot \cos \left( \frac{n\pi\theta}{a} \right) \right), \text{ com a utilização}$$

de M termos da série para uma aplicação prática, onde ainda:

$$\frac{1}{\pi} A_n = \frac{1}{a} \cdot \frac{1}{\pi} \int_{-\alpha}^{\alpha} \left( -\frac{\dot{r}}{r} \right) \cdot \cos \left( \frac{n\pi\varphi}{a} \right) d\varphi$$

Como  $\underline{a}$  é uma grandeza ainda desconhecida do problema, pois está diretamente ligada ao comprimento da corda, faremos como primeira aproximação, o seguinte:

Consideramos a equação, para turbinas, de Euler adimensional.

$$\frac{\bar{\Psi}}{2\bar{\psi}} = \cotg \alpha_0 - \cotg \alpha_3$$

Onde:

$\alpha_0$  = ângulo na entrada

$\alpha_3$  = ângulo na região externa da máquina.

Tomando como circulação média, a média aritmética entre as circulações de entrada e total (saída) obtemos:

$$\cotg \alpha_\infty = \frac{\cotg \alpha_0 + \cotg \alpha_3}{2}$$

Então fica:

$$\cotg \alpha_3 = \cotg \alpha_0 - \frac{\bar{\Psi}}{2\bar{\psi}}$$

18-42

$$\cotg \alpha_\infty = \cotg \alpha_0 - \frac{\Psi}{4\bar{\varphi}} \quad (4)$$

Considéramo o desvio total em ângulo entre a entrada saída, para um caso ideal, obtemos:

$$\varphi_{\max} = \frac{1}{2\bar{\varphi}} \left( 1 - \left( \frac{R_1}{R_2} \right)^2 \right) + \left( \cotg \alpha_0 - \frac{\Psi}{4\bar{\varphi}} \right) \cdot \ln \left( \frac{R_2}{R_1} \right)$$

$$\varphi_{\max} = \frac{1}{2\bar{\varphi}} \left( 1 - \left( \frac{R_1}{R_2} \right)^2 \right) + \frac{1}{2} \cdot \frac{1}{2} = \frac{\pi}{4}$$

Como primeira aproximação vamos adotar

que, sendo  $\alpha = \varphi_{\max}/2$ , temos  $\cotg \alpha = \cotg \varphi_{\max}/2$ . Como é a suposição que a pá não se afasta muito da pá de espiral logarítmica, seguindo os valores da espiral logarítmica, calculamos iterativamente novos valores de  $\alpha$ , tal que a equação

$$\left( \frac{r'}{r} \right) = \frac{\frac{I_r}{I_u} + \frac{\varphi}{\bar{\varphi}}}{I_u - \frac{I_o}{\omega R^2} \cdot \frac{1}{2\pi} - \left( \frac{r}{R_2} \right)^2} \quad \text{seja obedecida,} \quad (n)$$

(n-1)

de  $n$  representa o número de iterações. Onde ainda  $I_r$  e  $I_u$  representam funções somente dos valores da espiral logarítmica.

Ainda temos, para este caso, fixado o valor de  $\alpha$ , é

$$\frac{A_o}{2} = \ln \left( \frac{R_2}{R_1} \right) + \frac{\pi}{2} \operatorname{tg} \alpha_n$$

Após fixado o valor de  $\alpha$ , voltamos a equação acima, agora não mais com a consideração de espiral logarítmica, calculamos a nova pá por um processo, novamente, iterativo tal que pá final deva induzir a si própria.

B) Grades em estágios com perfis de espessura finita:

Com os cálculos feitos até agora, não existe mais dificuldade em generalizá-lo para vários estágios.

Sendo que devemos trazer nos diversos perfis, dos estágios, circulações diferentes, aproximaremos tais perfis em equações paramétricas:

Aplicaremos em 2 grades:

$$\varphi_1(t_1) = a_1 \cos t_1 ; r_1(t_1) = \sum_{v=-M_1}^{M_1} c_v^{(1)} e^{ivt_1}$$
$$\varphi_2(t_2) = -a_2 \cos t_2 + a_2 - b - a_1$$
$$r_2(t_2) = \sum_{v=-M_2}^{M_2} c_v^{(2)} e^{ivt_2}$$

Para  $-\pi \leq t_1 \leq \pi$ ,  $-\pi \leq t_2 \leq \pi$

Com isto as equações tomam a forma:

$$f_1(t_1) = \frac{1}{2\pi} \int_{-\pi}^{\pi} \sigma_1(\tau_1) \left( \cotg \frac{t_1 - \tau_1}{2} + H_{11}(t_1, \tau_1) \right) d\tau_1 + \frac{1}{2\pi} \int_{-\pi}^{\pi} \sigma_2(\tau_2) \cdot H_{12}(t_2, \tau_2) \cdot d\tau_2$$

$$f_2(t_2) = \frac{1}{2\pi} \int_{-\pi}^{\pi} \sigma_1(\tau_1) \cdot H_{21}(t_2, \tau_1) \cdot d\tau_1 + \frac{1}{2\pi} \int_{-\pi}^{\pi} \sigma_2(\tau_2) \left( \cotg \frac{t_2 - \tau_2}{2} + H_{22}(t_2, \tau_2) \right) d\tau_2$$

$$+ H_{22}(t_2, \tau_2) \Biggr) d\tau_2$$

Onde  $H_{pq}$  para ambas as funções são funções analíticas e para ambas vale:

$$\int_{-\pi}^{\pi} H_{pq}(t_p, \tau_q) \cdot dt_p = 0 \quad (p, q = 1, 2)$$

onde  $H_{pq}$  tem a forma vista para o caso de uma grade.

As circulações serão calculadas por:

$$\Gamma_1 = \int_{-\pi}^{\pi} \sigma_1(\tau_1) d\tau_1 ; \quad \Gamma_2 = \int_{-\pi}^{\pi} \sigma_2(\tau_2) d\tau_2$$

Para o caso de mais grades então entrariam os termos de indução das outras sobre a grade de cálculo, e assim por diante.

IV - APLICAÇÃO E CONCLUSÃO

- Na primeira curva apresentamos uma comparação dos métodos de STANITZ, publicado no trabalho de K.KUSOW. Vemos claramente que a distribuição aproximada de velocidades na pás para o processo aproximado coincide aceitavelmente com a solução. Mas mesmo tal processo, levando em conta a precisão, não aproxima tanto como o método das singularidades.

- Nas 10 curvas seguintes fazemos então uma exposição dos métodos existentes e do método aqui utilizado, em comparação com a solução de BUSEMANN.

Devemos nesse ponto lembrar que a função representada para a curva característica ( $\bar{\psi} = f(\bar{\varphi})$ ), que o valor de:

$$\bar{\varphi} = \varphi \frac{\cotg \beta + \cotg \alpha_0}{\cotg \beta}$$

é uma função do ângulo de entrada, ou seja, circulação de entrada, por isto, quando não for mencionado, a variação do coeficiente de pressão passa a ser linear. Devido ao vortex ocasionado, para uma máquina fechada, vide teoria de KUCHARSKI, o valor da componente  $c_u$  na entrada, torna-se grande relativamente a  $c_r$ , podendo então ocasionar uma distorção na curva teórica de  $\bar{\psi} = f(\bar{\varphi})$ .

Vemos então que para o mesmo número de termos na série de aproximação da função de distribuição das singularidades, o método atual é que mais se aproxima além de possuir um tempo de computação muito menor.

- Na folha 60 temos então a comparação do método com medidas feitas por GIESE e HELLMANN na Universidade de Berlin em um ventilador com rotor livre. As pás tinham como esqueleto, uma espiral logarítmica com:

$$\beta_1 = 25^\circ, 6 \text{ pás}, b/D_2 = 0,08, R_1/R_2 = 0,3.$$

Neste caso, foi considerada uma circulação inicial nula,

encontrando para o coeficiente de vazão um valor 20% maior que o encontrado por medidas. Com o valor do coeficiente medido e do calculado foi encontrada uma circulação inicial, que apresentamos na figura da página 61.

Conclusão:

Como na Fig. pg. 61 havia uma discrepância nos valores de entrada, entre o calculado e os medidos chegou-se a conclusão que no sistema real, devido as partes em contato direto com as partes móveis, na camada limite, formaria uma circulação interna cuja ordem de grandeza estaria no valor obtido entre a prática e teoria. Com isso foram refeitas as condições e determinado que o valor acima medido, que havia sido feito na pâ do lado de pressão, não correspondia com a do lado de sucção, devido a uma assimetria no fluido de entrada. Foi verificado então que na condição de entrada sem choque a circulação interna era realmente desrespeitável pois o novo valor correspondia praticamente o valor encontrado na teoria e por BUSEMANN. Vemos assim que na entrada, apesar da curva com circulação interna tender para a real a discrepância se deve totalmente a uma forte influência de correntes secundárias no escoamento de entrada.

- Na figura da página 62 vemos então a comparação das medidas, feitas no rotor com um Anemômetro de fio-quente e a comparação com a prática.

Vemos então que no lado de pressão a camada limite torna-se bem fina, devido o grande campo de aproximação com os valores do cálculo potencial enquanto que na sucção temos uma influência que atinge até o meio do canal. Temos então neste ponto a grande influência das correntes secundárias que fazem uma sucção no lado de pressão depositando então na camada limite do lado de sucção. Vemos ainda que mesmo para a relação de raio 0,3, que corresponde ao raio interno existe tal influência demonstrando então que tal diferença não trata de um descolamento.

- Na página 63 temos então a distribuição de pressão que já aproxima mais da realidade.

Devemos ainda citar que nas medidas com o Anemômetro não foram feitas correções devido a turbulência, pois as medidas foram feitas com um fio simples. Em uma verificação posterior, foram comprovadas regiões com grau de turbulência superior a 100%, sendo que a média estará em torno de 15±20%. Sabendo, pois, segundo trabalho feito por VAGT, que um grau de turbulência em torno de 30% ocasiona erros de medida da ordem de 30±50%; 10% erros de 15%.

As curvas seguintes apresentam os dados feitos por DOMM, HERGT, e RADESTOCK com a comparação do método aqui utilizado vemos pois que ambos estão em uma faixa menor que os erros acima, tendo o método do capítulo III a vantagem no tempo de computação para uma comparação em termos práticos.

Vemos então que os erros acima devido ao grau de turbulência, fazem com que os cálculos teóricos obtidos se enquadrem dentro de um campo ideal para o cálculo das distribuições características do escoamento no interior de u'a máquina de fluxo radial, principalmente para a distribuição de pressões.

L I T E R A T U R A

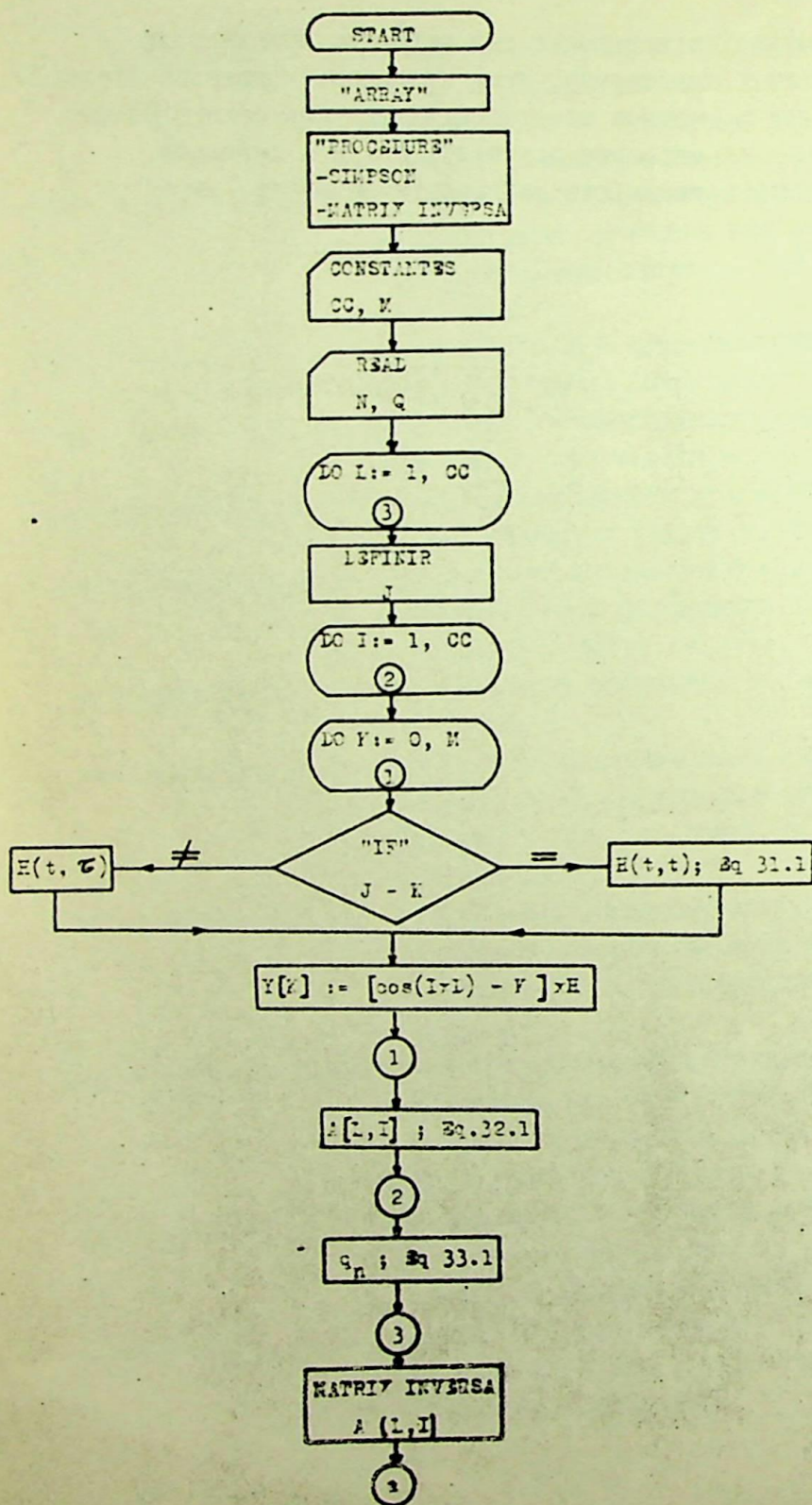
- 01 - ACOSTA, A.J. : AN EXPERIMENTAL AND THEORETICAL INVESTIGATION OF TWO-DIMENSIONAL CENTRIFUGAL- PUMP IMPELLERS. TRANSACTIONS OF THE ASME JULY 1954/ PASADENA CALIF.
- 02 - BETZ, I. UND FLUGGE-LOTZ, A.: BERECHNUNG DER SCHAUFELN VON KREISELRADERN. INGENIEUR-ARCHIV. IX. BAND, 1938.
- 03 - BIRNBAUM, W. : DIE TRAGENDE FLÄCHE ALS HILFSMITTEL ZUR BERECHNUNG DES EBENEN PROBLEMS DER TRAGFLUGELTHEORIE. - ZAMM. BD. 3 (1923).
- 04 - BUSEMANN, A. : DAS FÖRDERHÖHENVERHÄLTNIS RADIALER KREISELPUMPEN MIT LOGARITHMISCH-SPIRALIGEN. ZAMM BD 8. 1928/s 372/348.
- 05 - CZIBERE, T. ; ÜBER DIE BERECHNUNG DER SCHAUFELPROFILE UND DER STRÖMUNG UM DIE SCHAUFELN VON STRÖMUNGSMACHINEN. ING. ARCH. Bd. 33, H. 4, 1964, s. 215/230.
- 06 - DOMM, U. UND HERGT, P.: DIE ENERGIEVERTEILUNG IN DREI RADIALPÄDERN BREITE. - KSB TECHNISCHE BERICHTE 6 (1963).
- 07 - DOMM, U. HERGT, P. UND RADESTOCK, J.: EINIGE ANWENDUNGEN DER SINGULARITÄTTENTHEORIE DER RADIALMASCHINE UND VERGLEICHE MIT MESSUNGEN. - KSB TECHNISCHE BERICHNITE 13. (1966).
- 08 - FUZY ; O.: BEITRAGE ZUR KONFORMEN ABBILDUNG EINES SCHAUFELSTERNES AUF EIN EBENES SCHAUFELGITTER. PERIODICA POLYTECNICA (BUDAPEST)M. V (1961) 4.
- 09 - GIESE, K.:= UNTERSUCHUNG DER SEKUNDARSTROMUNG IM LAUFRAD EINER RADIALEN ARBEITSMACHINE (1970) HFI. -- TU BERLIN (MESSUNGEN).

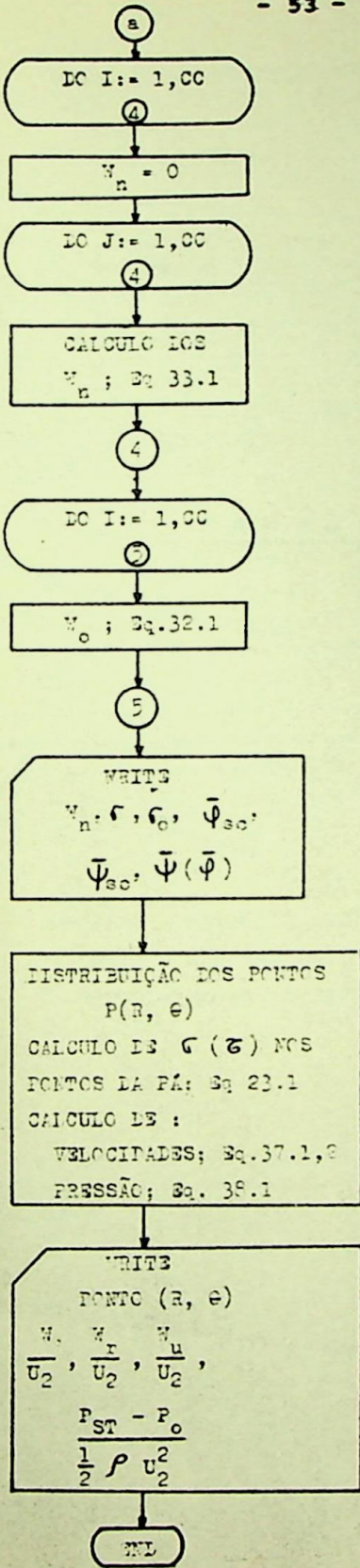
- 10 - GLAUERT, H.: DIE GRUNDLAGEN DER TRAGFLÜGEL - UND LUFT -  
SCHRAUBENTHEORIE. - BERLIN (1929).
- 11 - GROBENGIESER, H.: PROGRAMM ZUR BERECHNUNG DER MINDER -  
LEISTUNG. (DIPLOMARBEIT. - HFI TU BERLIN).
- 12 - GRUBER, J.: DIE KONSTRUKTION VON SCHAUFELSTERNEN MIT  
RÜCKWÄRTS GEKRÜMMTER BESCHAUFELUNG. PERIODICA POLYTECHNICA, BUDAPEST M.I (1957) I.
- 13 - HELLMANN, D.: DRUCKVERTEILUNGSMESSUNGEN AN EINEN -  
ROTIERENDEN LAUFRAD. (DIPLOMARBEIT AM HFI).
- 14 - HOFFMEISTER, M.: ENTWICKLUNG VON RADIALEN LAUFRADSCHAUFELN  
UNTER BENETZUNG DES SINGULARITÄTENVERFAHRENS. - MASCHINENBAUTECHNIK 8. 1959, H.2.
- 15 - ISAY, W. H.: BEITRAG ZUR POTENTIALSTRÖMUNG DURCH AXIALE  
SCHAUFELGITTER. - ZAMM. - Bd. 33, H.18, DEZEMBER 1953, S. 197/409.
- 16 - ISAY, W. H.: BEITRAG ZUR POTENTIALSTRÖMUNG DURCH RADIALE  
SCHAUFELGITTER. - INGENIER ARCHIV, Bd. 22, F. 3, 1954, S. 203/210.
- 17 - ISAY, W. H.: BERECHNUNGSERGEBNISSE DER RADIALEN  
SCHAUFELGITTERSTRÖMUNG, - ZAM, Bd. 38, H. 5/6, MAI/JUNI 1958.
- 18 - KUCHARSKI, W.: STRÖMUNGEN EINER REIBUNGSFREIEN FLÜSSIGKEIT  
BEI ROTATION FESTER KÖRPER. MÜNCHEN UND BERLIN, 1918.
- 19 - KUSOW, K.: UNTERSUCHUNG DER MÖGLICHKEITEN ZUR ERZEUGUNG  
WIRKUNGSFÄHIGER RADIALSCHAUFELGITTER VON HOHEN DRUCKKoeffIZIENTEN. - DISSERTATIONS -  
ARBEIT - 1965, T.H. SOFIA.
- 20 - MISES, R.V. : THEORIE WASSERRÄDER. (1908).
- 21 - PETERMANN, H.: DER STRÖMUNGS IN UND HINTERLAUF-  
SCHAUFELKANÄLEN KREISELPUMPEN UND VERDICHTERN. VDI - Z 103 (1961) NR.17, S. 748/52.
- 22 - RAABE, J.: HYDRAULISCHE MASCHINEN UND ANLAGEN. VDI -  
VERLAG GMBH DÜSSELDORF (1968).

- 23 - SCHILHANSIL, M.J.: THREE-DIMENSIONAL THEORIE OF INCOMPRESSIBLE AND INVISCID FLOW THROUGH MIXED FLOW TURBOMASCHINES. - JOURNAL OF ENGINEERING FOR POWER. OCTOBER 1965. S. 361/373..
- 24 - SCHILICHTING, H.: BERECHNUNG DER INKOMPRESSIBELN REIBUNGSLOSEN STRÖMUNG FÜR EIN VORGEgebenES EBENES SCHAUFELGITTER. - VDI FORSCHUNGSHFET 447, 1955.
- 25 - SCHOLZ, N.: AERODYNAMIK DER SCHAUFELGITTER. - Bd. 1 VERLAG G. BRAUN KARLSRUHE.
- 26 - SCHRECK, C.: VORLESUNG, HYDRODINAMISCHE STRÖMUNGS - MACHINEN. - TU BERLIN.-
- 27 - SØRENSEN, E.: POTENTIALSTRÖMUNGEN DURCH ROTIERENDE KREISEL RÄDER . ZAMM, 7 (1927) S. 89/106.
- 28 - SPANNHAKE, W.: ANWENDUNG DER KONFORMEN ABBILDUNG AUF DIE BERECHNUNG VON STRÖMUNGEN IN KREISELRÄDERN - ZAMM, 5, (1925) 481/484.
- 29 - SPANNHAKE, W.: HYDRAULISCHE PROBLEME, S. 180, BERLIN, VDI (1926).
- 30 - SPANNHAKE, W.: EINE STRÖMUNGSTECHNISCHE AUFGABE KREISELRADFORRSCHUNG UND EIN ANSATZ ZU IHRER LÖSUNG. - MITT. D. INST. F. STRÖMUNGSMACH (1930). NR. 1.
- 31 - SPANNHAKE, W.: DIE LEISTUNGSAUFAHME EINER PARALLEL - KPÄNZIGEN ZENTRIFUGALPUMPE MIT RADIALEN SCHAUFELN. T.H. FRIDERICIANA Z. KARLSRUHE. (1925).
- 32 - STANITZ, JOHN D.: TWO-DIMENSIONAL COMPRESSIBLES FLOW IN TURBOMACHINES WITH CONIC FLOW SURFACES. - REPORT 935' NATIONAL ADVISORY COMITTEE FOR AERONAUTICS. (1949).
- 33 - STANITZ, J.D. AND PRIAN, V.D.: A RAPID APPROXIMATE METHOD FOR DETERMINING VELOCITY DISTRIBUTION ON IMPELLER BLADES OF CENTRIFUGAL COMPRESSORS. STEAM AND GAS TURBINES, VOL. II MAGGRAW - HILL BOOK CO., INC., 6th ed. 1927, pag. 998/1000, 1255/1260.
- 34 - STODOLA, A.:

- 35 - TRAUPEL, W.: DIE THEORIE DER STROMUNG DURCHRADIAL -  
MASCHINEN. VERL G. BRAUN, KARLSRUHE (1926).
- 36 - VERBA, A.: METHOD OF SINGULARITIES FOR COMPUTING THE  
VELOCITY DISTRIBUTION IN A IMPELLER.  
TECHNICAL UNIVERSITY BUDAPEST, 1960.

DIAGRAMA EN BLOCOS





E X E M P L O S

E

C U R V A S

PERFIL DE VELOCIDADE NO PERFIL

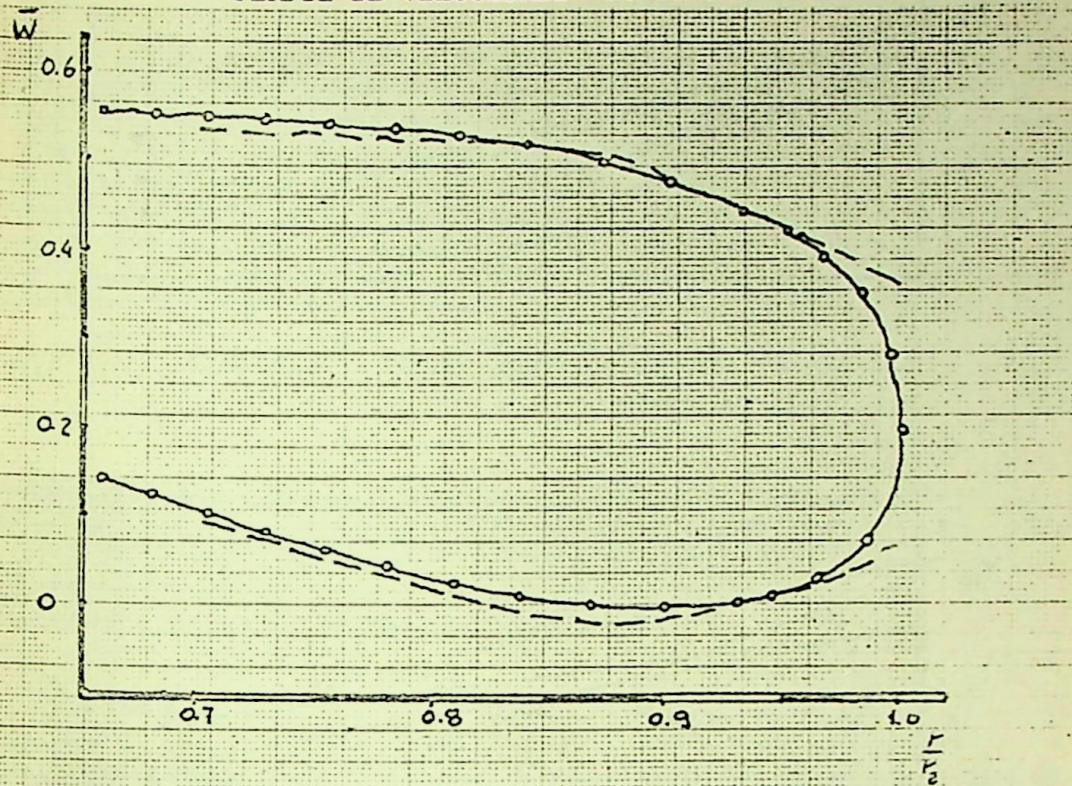


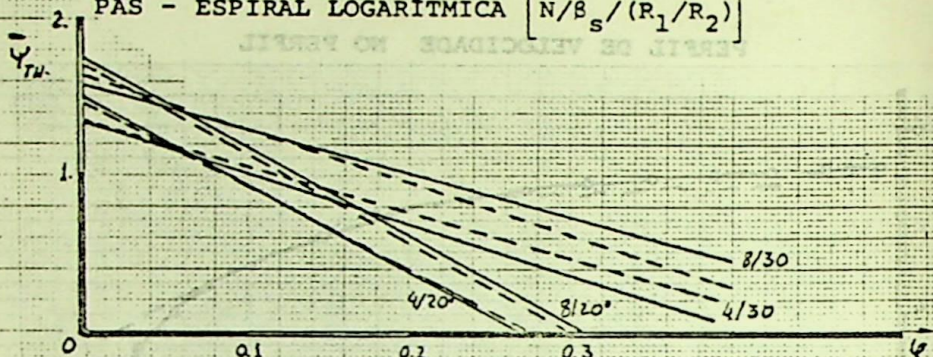
FIG. - 0 -

----- STANITZ (MÉTODO APROXIMADO)  
-o-o-o- MÉTODO DE RELAXAÇÃO  
TRABALHO DE K. KUSOW

LINHAS CARACTERÍSTICAS

PÁS - ESPIRAL LOGARÍTMICA  $[N/8_s / (R_1/R_2)]$

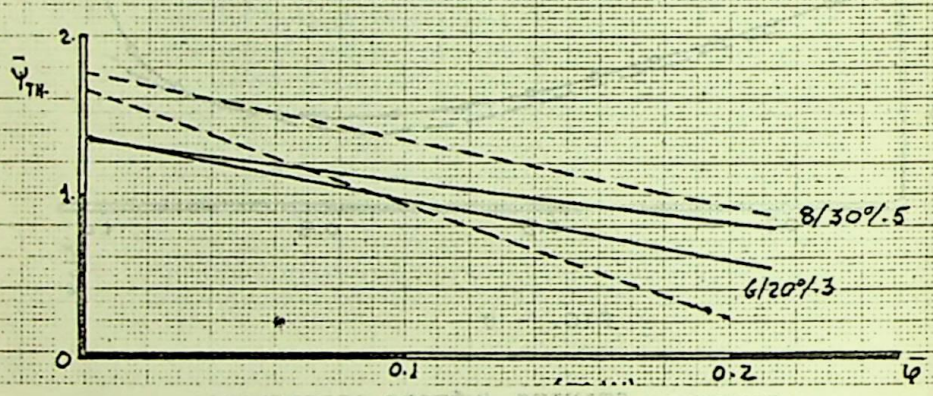
ESTUDO DE VARIACOES DE VELOCIDADES



— MÉTODO DE DOMM, HERGT E RADESTOCK

- - - BUSEMANN

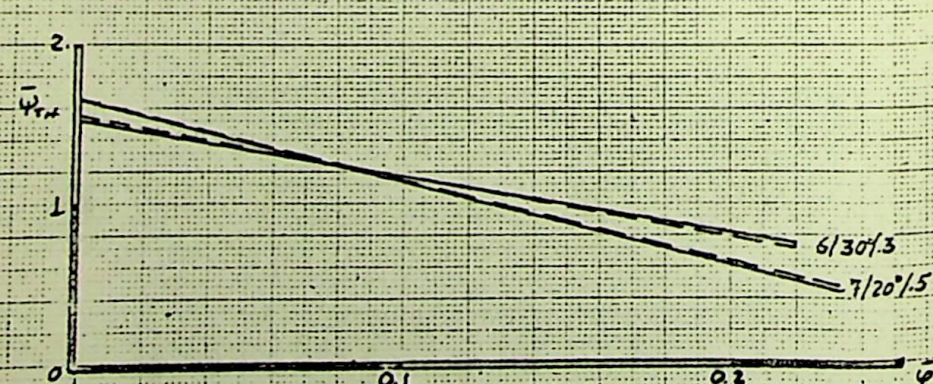
— · — MÉTODO DO IIIº CAPÍTULO



— MÉTODO DE ISAY

- - - BUSEMANN

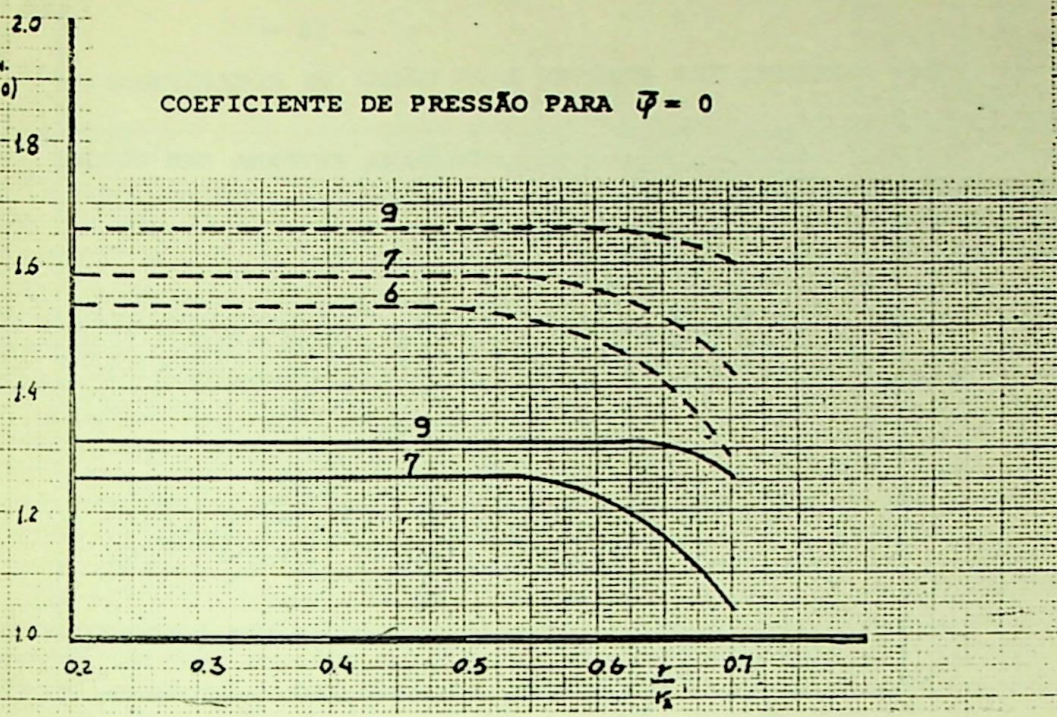
— · — MÉTODO DO IIIº CAPÍTULO



— MÉTODO DO IIIº CAPÍTULO

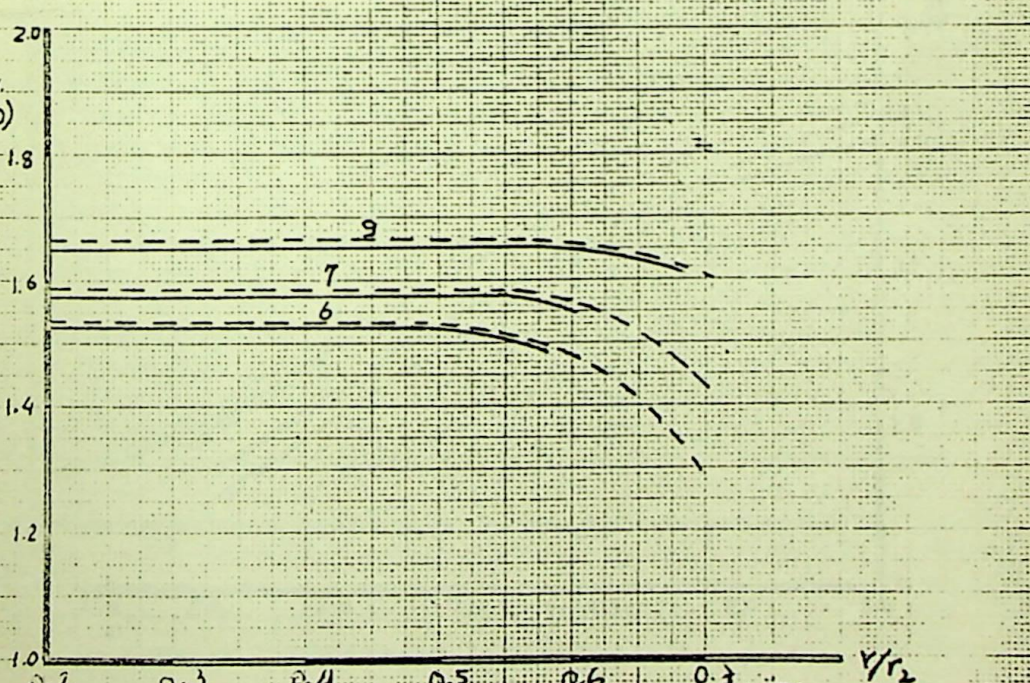
- - - BUSEMANN

COEFICIENTE DE PRESSÃO PARA  $\varphi = 0$



— MÉTODO DE ISAY

---- BUSEMANN



— MÉTODO DO III<sup>9</sup> CAPÍTULO

---- BUSEMANN

COEFICIENTE DE PRESSÃO PARA ENTRADA SEM CHOQUE

$\bar{U}_{T_0}$

2.0  
1.5  
1.0  
0.5  
0.0

0.2 0.3 0.4 0.5 0.6 0.7  $\frac{r}{r_2}$

— ISAY  
- - - BUSEMANN

$\bar{U}_{T_0}$

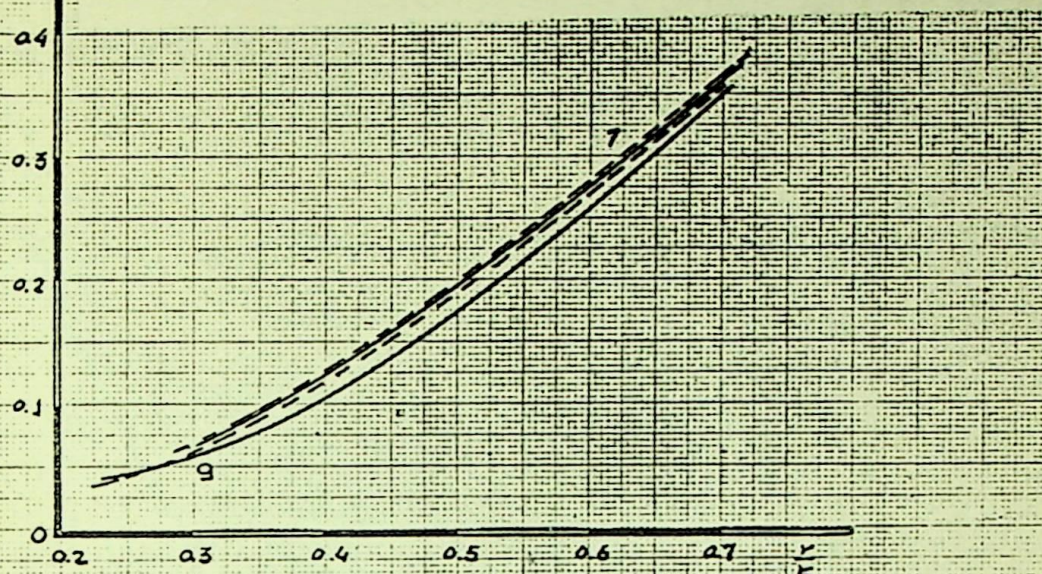
2.0  
1.5  
1.0  
0.5  
0.0

0.2 0.3 0.4 0.5 0.6 0.7  $\frac{r}{r_2}$

— MÉTODO DO IIIº CAPÍTULO  
- - - BUSEMANN

$\frac{a_5}{a_1}$

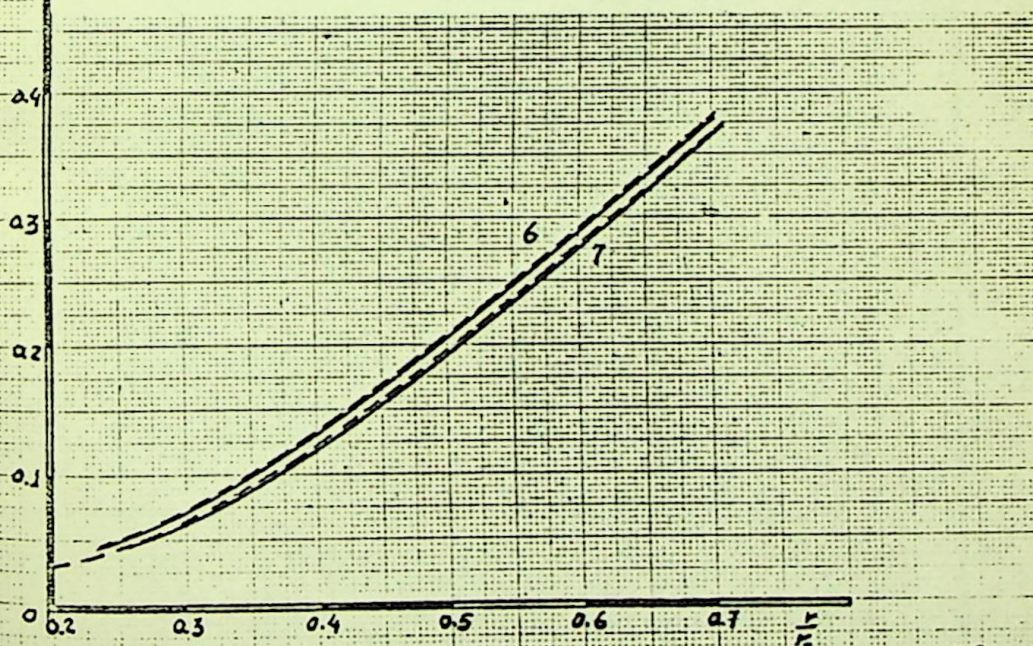
COEFICIENTE DE VASÃO PARA ENTRADA SEM CHOQUE



ISAY

BUSEMANN

$\frac{a_5}{a_1}$



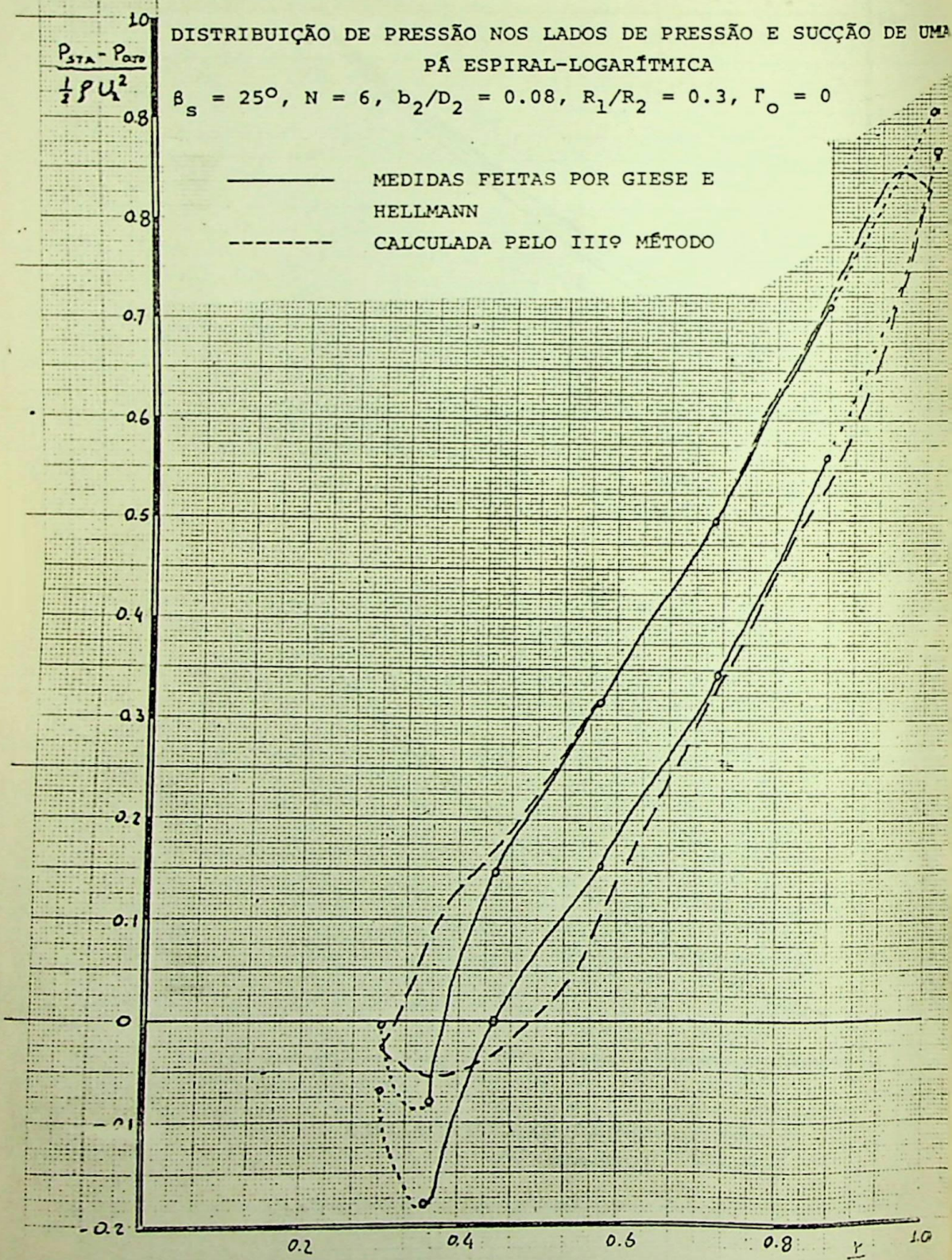
MÉTODO DO IIIº CAPÍTULO

BUSEMANN

DISTRIBUIÇÃO DE PRESSÃO NOS LADOS DE PRESSÃO E SUCÇÃO DE UMA  
PÁ ESPIRAL-LOGARÍTMICA

$$\frac{1}{2} \rho U_1^2$$
$$B_s = 25^\circ, N = 6, b_2/D_2 = 0.08, R_1/R_2 = 0.3, \Gamma_o = 0$$

— MEDIDAS FEITAS POR GIESE E  
HELLMANN  
- - - - - CALCULADA PELO IIIº MÉTODO

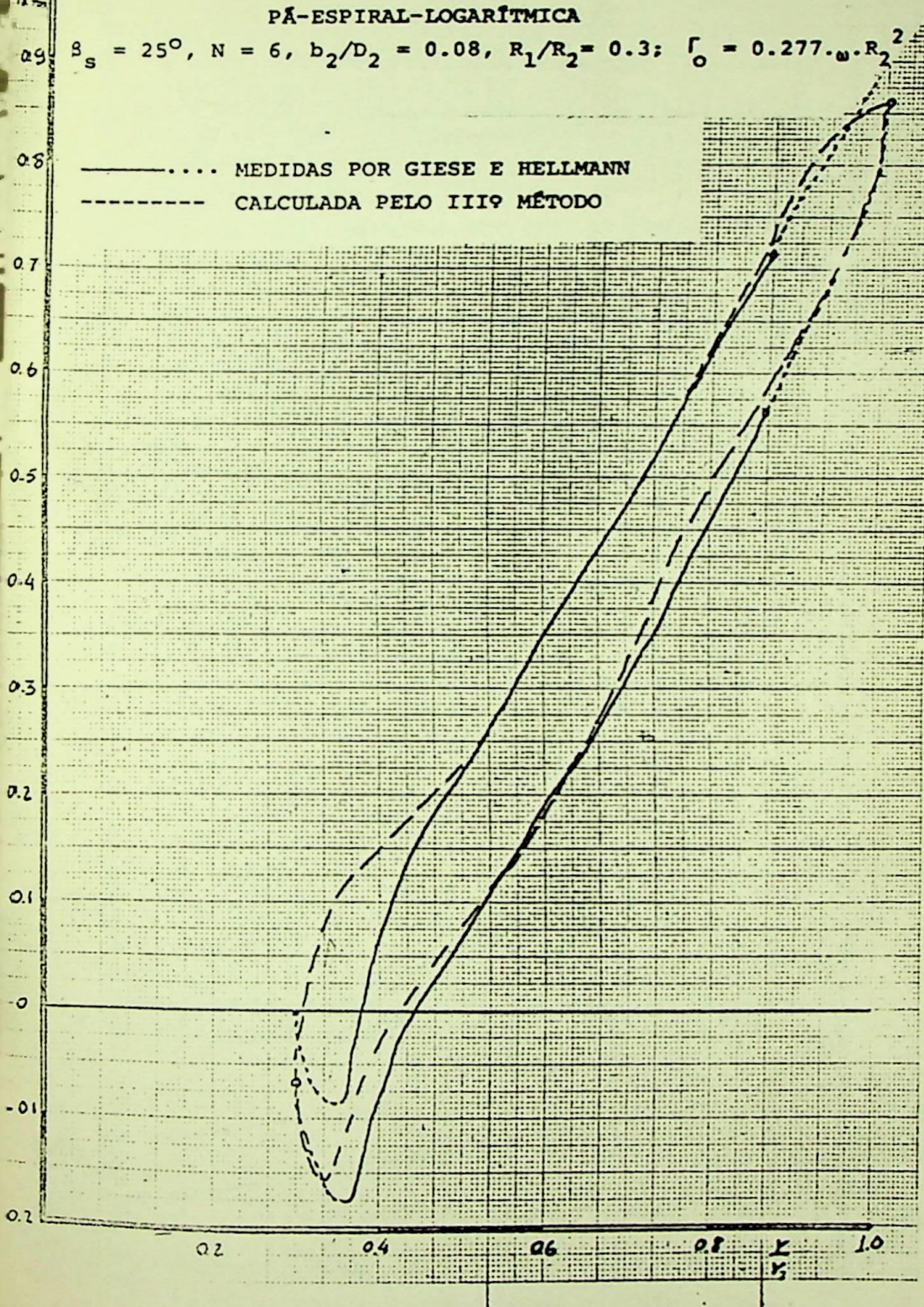


DISTRIBUIÇÃO DE PRESSÃO NOS LADOS DE PRESSÃO E SUÇÃO DE UMA  
PÁ-ESPIRAL-LOGARÍTMICA

$s_s = 25^\circ, N = 6, b_2/D_2 = 0.08, R_1/R_2 = 0.3; r_o = 0.277 \cdot \omega \cdot R_2^2$

..... MEDIDAS POR GIESE E HELLMANN

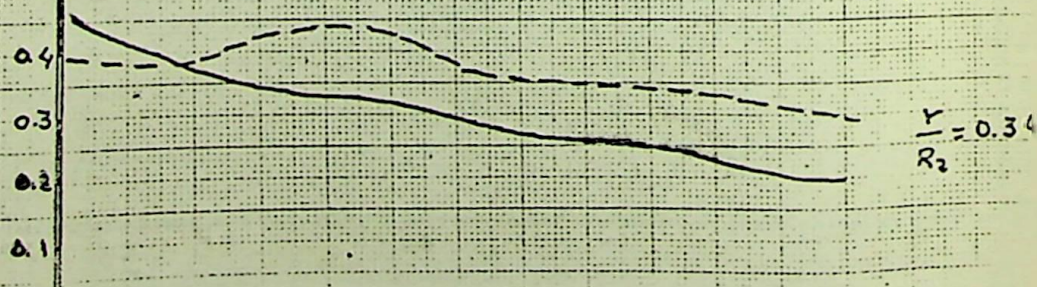
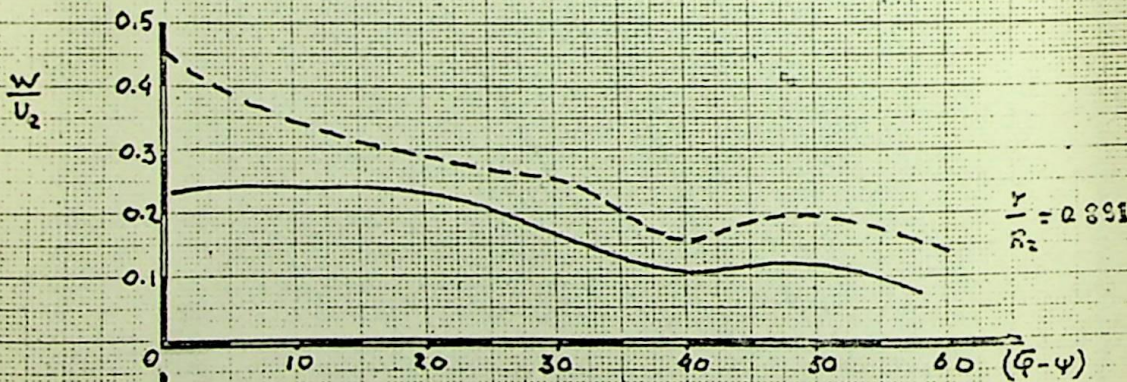
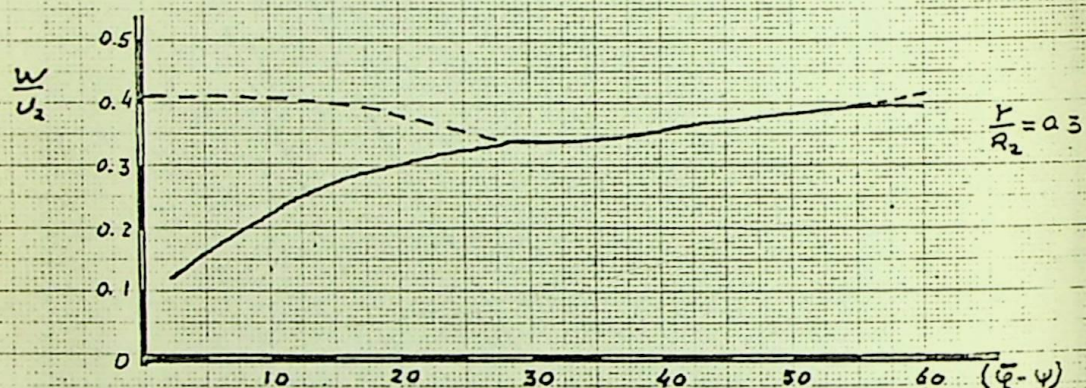
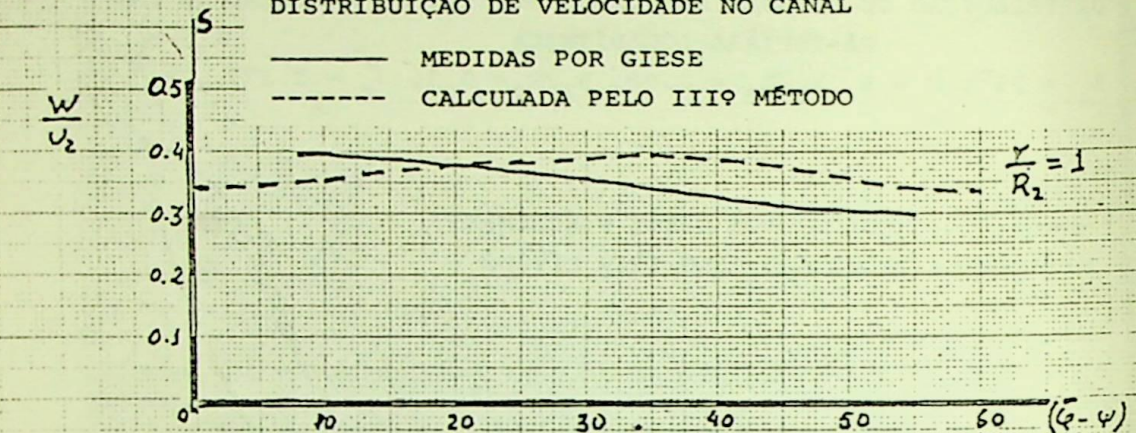
----- CALCULADA PELO IIIº MÉTODO

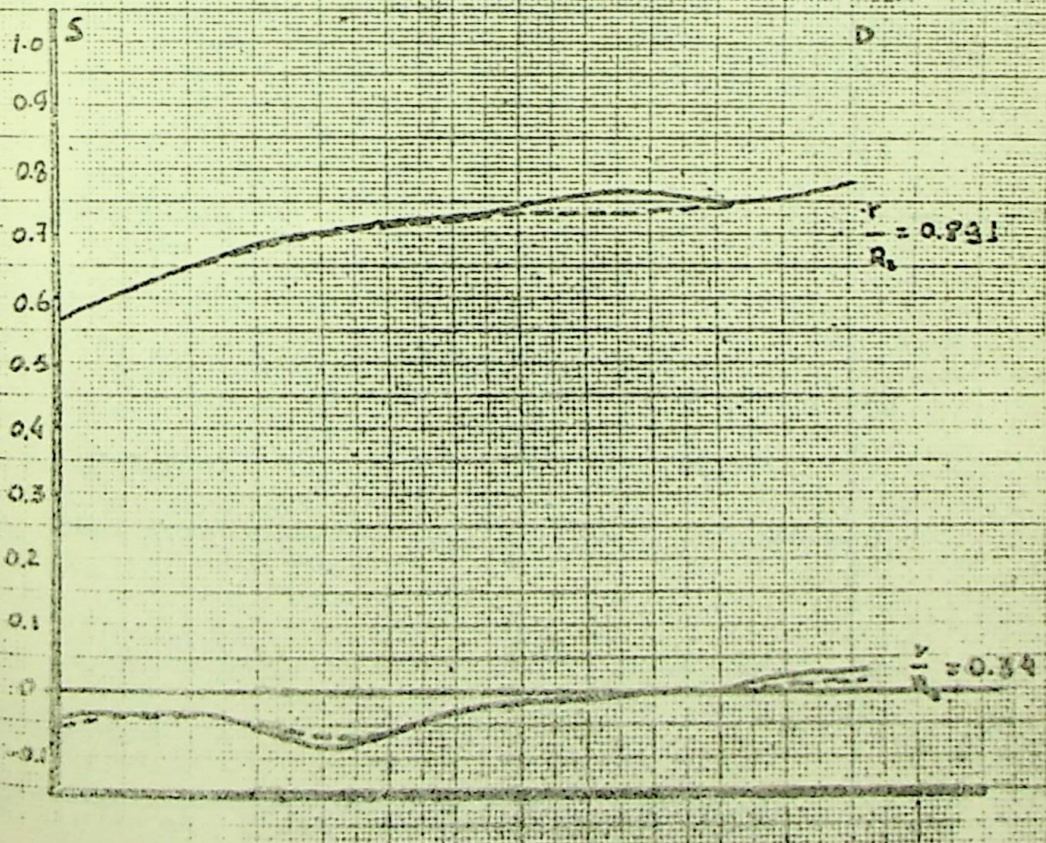
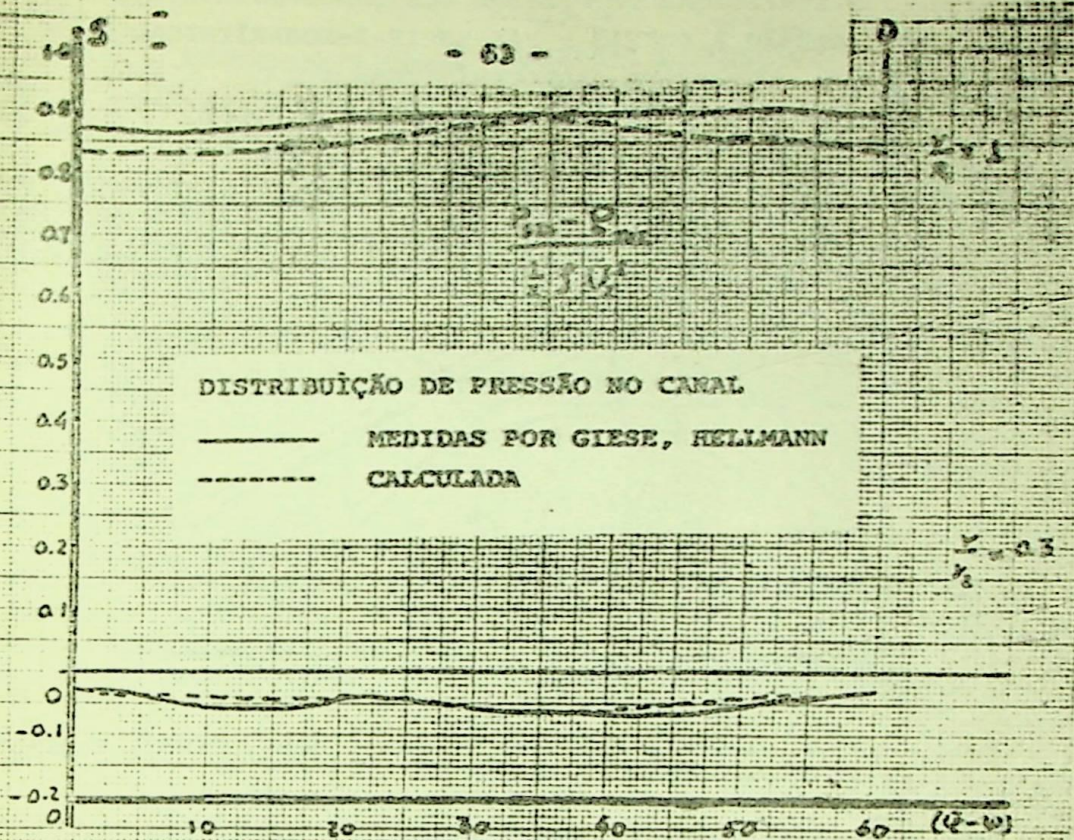


DISTRIBUIÇÃO DE VELOCIDADE NO CANAL

MEDIDAS POR GIESE

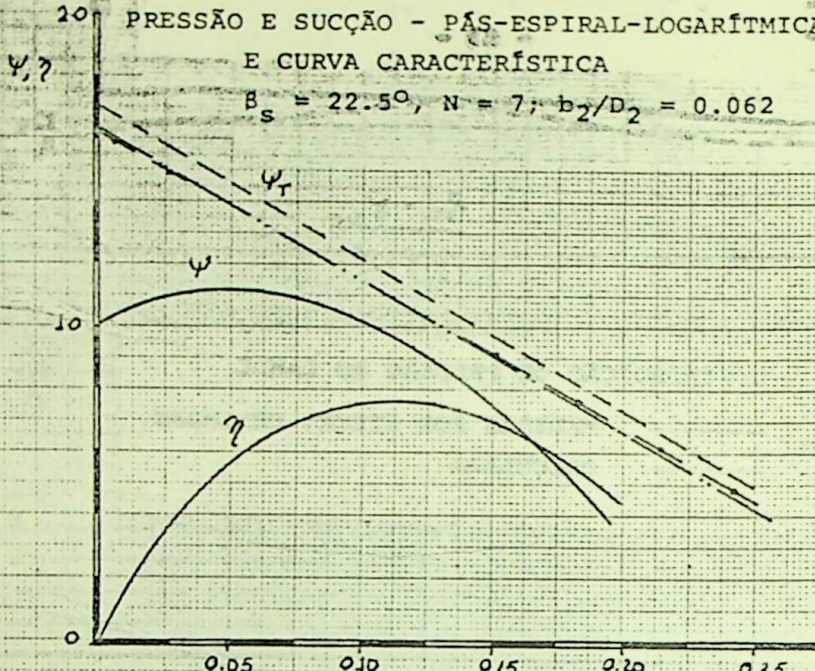
CALCULADA PELO IIIº MÉTODO





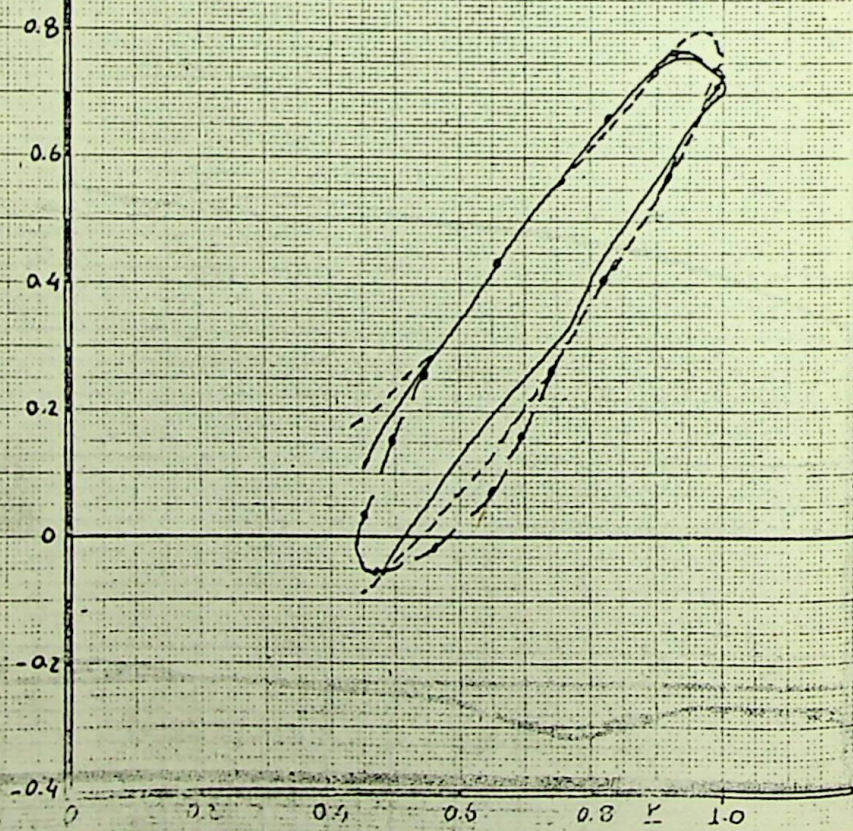
DISTRIBUIÇÃO DE PRESSÃO NOS LADOS DE  
PRESSÃO E SUCÇÃO - PÁS-ESPIRAL-LOGARÍTMICA.  
E CURVA CARACTERÍSTICA

$$\beta_s = 22.5^\circ, N = 7; b_2/D_2 = 0.062$$



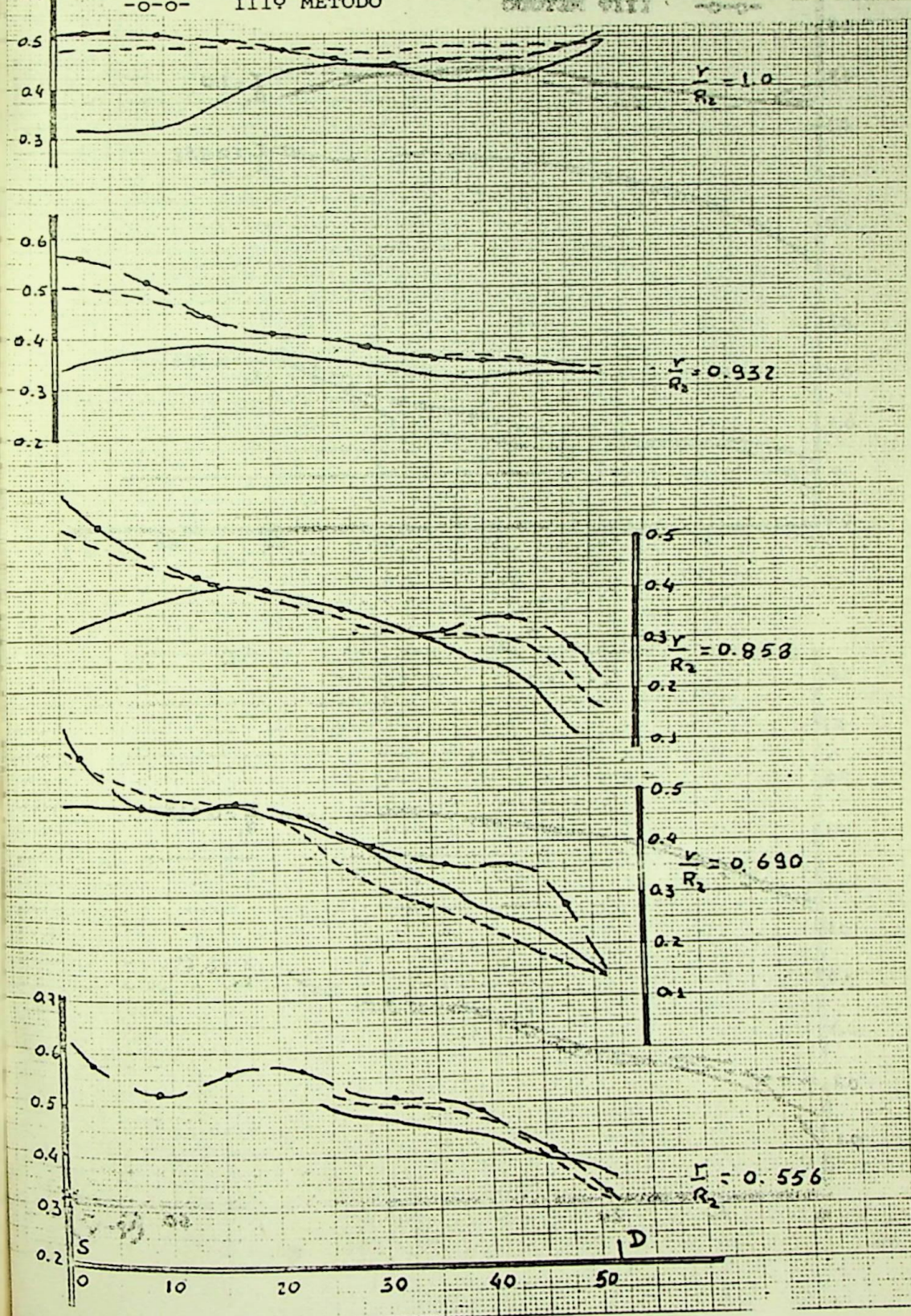
$$\frac{P_{STAT} - P_{atm}}{\frac{1}{2} \rho U_2^2}$$

— · — BUSEMANN  
- - - - SINGULARIDADES DOMM, HERGT, RADESTOCK  
MEDIDAS  
— ○ — MÉTODO DO IIIº CAPÍTULO



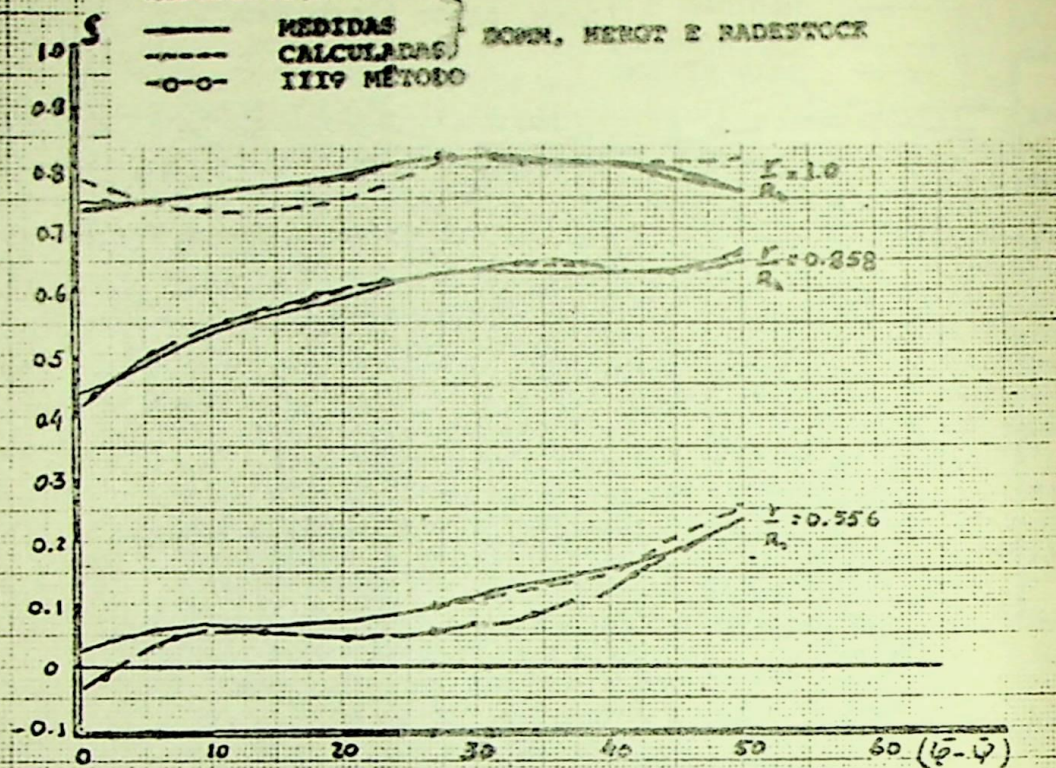
## DISTRIBUIÇÃO DE VELOCIDADES NO CANAL

MEDIDAS } DOMM, HERGT E RADSTOCK  
 CALCULADAS }  
 -O-O- IIIº MÉTODO



DISTRIBUIÇÃO DE PRESSÃO NO CANAL

— MEDIDAS  
— CALCULADAS *SOMM, HEROT E RADESTOCK*  
— O-O *III MÉTODO*



$$P_{STAT} - P_{TOT}$$
$$\frac{1}{2} \beta U^2$$

